

ФЕДЕРАЛЬНОЕ АГЕНТСТВО ПО ОБРАЗОВАНИЮ  
РОССИЙСКОЙ ФЕДЕРАЦИИ  
МОСКОВСКИЙ ИНЖЕНЕРНО-ФИЗИЧЕСКИЙ ИНСТИТУТ  
(ГОСУДАРСТВЕННЫЙ УНИВЕРСИТЕТ)

---

Н.В. Варламов, Э.Я. Школьников

# ЛИНЕЙНЫЕ ЭЛЕКТРИЧЕСКИЕ ЦЕПИ ПЕРЕМЕННОГО ТОКА

## Часть II

Учебное пособие

*Рекомендовано УМО «Ядерные физика и технологии»  
в качестве учебного пособия  
для студентов высших учебных заведений*

Москва 2008

УДК 621.3.11.7(075)

ББК 31.211я7

В 18

Варламов Н.В., Школьников Э.Я. **Линейные электрические цепи переменного тока Часть II: Учебное пособие** М.: МИФИ, 2008. – 88 с.

Учебное пособие является логическим продолжением ранее изданного учебного пособия «Линейные электрические цепи переменного тока» (авторы О.В. Гаркуша и Э.Я. Школьников, издание МИФИ 2004 г.). В учебном пособии рассматриваются: линейные электрические цепи переменного тока с взаимной индуктивностью; резонанс в линейных электрических цепях; переходные процессы в линейных электрических цепях. Каждая глава сопровождается примерами решения типовых задач.

Пособие предназначено для студентов, обучающихся на факультете «Автоматика и электроника». Оно будет полезно также студентам других факультетов, изучающим курс «Электротехника».

Пособие подготовлено в рамках Инновационной образовательной программы МИФИ.

Рецензент д-р техн. наук, профессор *Стенин В.Я.*

ISBN 978-5-7262-1004-9

© *Московский инженерно-физический институт  
(государственный университет), 2008*

## СОДЕРЖАНИЕ

|  |    |
|--|----|
| Введение.....  | 4  |
| Глава 1. Электрические цепи переменного тока<br>с взаимной индуктивностью .....                  | 5  |
| 1.1. Индуктивно связанные элементы цепи .....  | 5  |
| 1.2. Согласное и встречное соединение индуктивных элементов .....                                | 7  |
| 1.3. Коэффициент связи .....   | 10 |
| 1.4. Трансформатор без ферромагнитного сердечника.....   | 11 |
| Примеры .....  | 14 |
| Глава 2. Резонансы в линейных электрических цепях .....  | 18 |
| 2.1. Резонанс напряжений .....   | 18 |
| 2.1.1. Условия резонанса напряжений .....  | 18 |
| 2.1.2. Энергетические соотношения при<br>резонансе напряжений .....                              | 20 |
| 2.1.3. Частотные характеристики последовательного<br>колебательного контура .....                | 22 |
| 2.1.4. Добротность последовательного<br>колебательного контура .....                             | 25 |
| Примеры .....  | 27 |
| 2.2. Резонанс токов .....  | 30 |
| 2.2.1. Условие резонанса токов .....   | 30 |
| 2.2.2. Энергетические соотношения при резонансе токов.....                                       | 37 |
| 2.2.3. Частотные характеристики параллельного<br>колебательного контура .....                    | 39 |
| Примеры .....  | 42 |
| Глава 3. Переходные процессы в линейных электрических цепях<br>(классический метод расчета)..... | 47 |
| 3.1. Законы коммутации.....  | 47 |
| 3.2. Классический метод анализа переходных процессов.....  | 50 |
| 3.3. Виды начальных условий и определение порядка цепи.....                                      | 56 |
| Примеры .....  | 57 |
| 3.4. Характеристическое уравнение цепи<br>(анализ модели цепи в свободном режиме) .....          | 65 |
| 3.5. Расчет переходных процессов в цепях первого порядка<br>(классическим методом) .....         | 74 |
| Примеры .....  | 77 |
| Список литературы .....  | 87 |

## Введение

В учебном пособии рассматриваются линейные электрические цепи переменного тока с взаимной индуктивностью; резонанс в линейных электрических цепях; переходные процессы в линейных электрических цепях.

Для цепей переменного тока с взаимной индуктивностью рассмотрены особенности составления уравнений на основе законов Кирхгофа при наличии индуктивно связанных элементов цепи, проанализировано согласное и встречное соединение таких элементов, введено понятие коэффициента связи, дано описание модели трансформатора без ферромагнитного сердечника.

В пособии рассматриваются особенности работы линейной цепи в режиме резонанса напряжения и резонанса тока, приведены выкладки и соотношения, раскрывающие условия возникновения этих режимов и их основные характеристики, проанализированы энергетические соотношения при резонансе напряжений и резонансе токов, а также частотные характеристики последовательного и параллельного колебательных контуров.

В отличие от электрических цепей, процессы энергообмена в которых имеют установившейся характер, а параметры элементов цепи и схема их соединений остаются постоянными, на практике во многих электрических цепях происходит подключение или отключение участков цепи, а параметры элементов цепи могут резко измениться в результате воздействия. При этом в электрических цепях возникает переходный процесс, для анализа которого необходима система интегро-дифференциальных уравнений. В пособии изложен классический метод расчета переходных процессов, дано обоснование законов коммутации, рассмотрены виды начальных условий, понятие порядка цепи и алгоритм получения характеристического уравнения цепи на основе анализа модели цепи в свободном режиме.

Для формирования первичного навыка решения типовых задач в каждой главе пособия приведены примеры, которые не только позволяют освоить простейшие практические приёмы, но во многих случаях дополняют содержание теоретических разделов.

# ГЛАВА 1. ЭЛЕКТРИЧЕСКИЕ ЦЕПИ ПЕРЕМЕННОГО ТОКА С ВЗАИМНОЙ ИНДУКЦИЕЙ

## 1.1. Индуктивно связанные элементы цепи

Явление наведения ЭДС в электрической цепи при изменении тока в другой цепи получило название взаимной индукции. Электрические цепи, в которых появляется этот эффект, называются индуктивно связанными цепями.

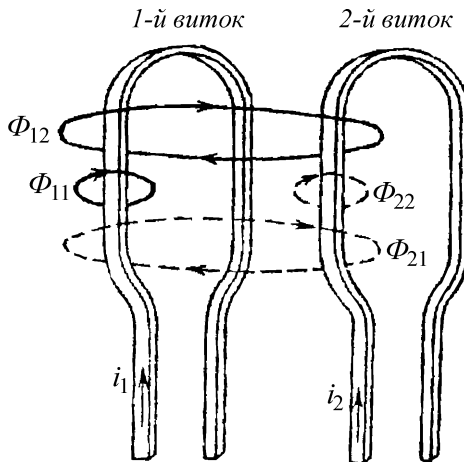


Рис. 1

На рис. 1 изображены два витка (контура), удаленных на некоторое расстояние один от другого. По первому витку протекает ток  $i_1$ , по второму  $i_2$ . Зависимости токов  $i_1$  и  $i_2$  от времени – произвольные. На рис. 1 представлена также пространственная картина магнитных потоков, вызванных этими токами. Здесь введены следующие обозначения:

$\Phi_{11}$  – магнитный поток, замыкающийся в первом витке, вызванный током  $i_1$ ;

$\Phi_{22}$  – магнитный поток, замыкающийся во втором витке, вызванный током  $i_2$ ;

$\Phi_{12}$  – магнитный поток, создаваемый в первом витке током  $i_1$ , проходящий через второй виток;

$\Phi_{21}$  – магнитный поток, создаваемый во втором витке током  $i_2$ , проходящий через первый виток.

Тогда полный поток, создаваемый в первом витке током  $i_1$  :

$$\Phi_1 = \Phi_{11} + \Phi_{12}. \quad (1.1)$$

Соответственно, полный поток, создаваемый во втором витке током  $i_2$  :

$$\Phi_2 = \Phi_{22} + \Phi_{21}. \quad (1.2)$$

С учетом принятых обозначений, а также соотношений (1.1) и (1.2) полный ток (магнитное поле) в первом витке:

$$\Phi_{1\text{полн}} = \Phi_1 \pm \Phi_{21}. \quad (1.3)$$

И, соответственно, во втором витке:

$$\Phi_{2\text{полн}} = \Phi_2 \pm \Phi_{12}. \quad (1.4)$$

Знак «+» в выражениях (1.3) и (1.4) соответствует одинаковому направлению потоков, знак «-» – противоположному.

Для линейных магнитных сред (отсутствие ферромагнитных материалов) справедливо:

$$\Phi_1 = L_1 i_1, \quad \Phi_2 = L_2 i_2, \quad (1.5)$$

где,  $L_1$  и  $L_2$  – индуктивности первого и второго витка. Соответственно, при этих же условиях можно полагать что:

$$\Phi_{12} = M_{12} \cdot i_1, \quad \Phi_{21} = M_{21} \cdot i_2. \quad (1.6)$$

Можно показать, что коэффициенты  $M_{12}$  и  $M_{21}$  равны:

$$M_{12} = M_{21} = M. \quad (1.7)$$

Коэффициент  $M$  получил название взаимной индуктивности и измеряется в Гн. С учетом (1.3)–(1.7) можно получить выражение для полных ЭДС, индуктируемых в первом и втором витках:

$$e_{1\text{полн}} = -\frac{d\Phi_{1\text{полн}}}{dt} = -L_1 \frac{di_1}{dt} \mp M \frac{di_2}{dt}; \quad (1.8)$$

$$e_{2 \text{ полн}} = -\frac{d\Phi_{1 \text{ полн}}}{dt} = -L_2 \frac{di_2}{dt} \mp M \frac{di_1}{dt}. \quad (1.9)$$

Первые члены в выражениях (1.8) и (1.9) являются ЭДС самоиндукции:

$$e_{1L} = -L_1 \frac{di_1}{dt}, \quad e_{2L} = -L_2 \frac{di_2}{dt}. \quad (1.10)$$

Вторые члены в выражениях (1.8) и (1.9) получили название ЭДС взаимной индукции:

$$e_{1M} = \mp M \frac{di_2}{dt}, \quad e_{2M} = \mp M \frac{di_1}{dt}. \quad (1.11)$$

Что же касается полных напряжений, наводимых в витках, то их выражения в соответствии с (1.8) и (1.9) выглядят следующим образом:

$$u_{1 \text{ полн}} = L_1 \frac{di_1}{dt} \pm M \frac{di_2}{dt}, \quad (1.12)$$

$$u_{2 \text{ полн}} = L_2 \frac{di_2}{dt} \pm M \frac{di_1}{dt}. \quad (1.13)$$

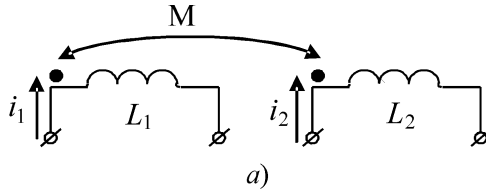
Отметим что выражения (1.8), (1.9), (1.12) и (1.13) остаются справедливыми, если рассматриваются любые два индуктивных элемента (катушки индуктивности). В этом случае величины  $L_1$ ,  $L_2$ ,  $M$  должны быть взяты для этих элементов.

## 1.2. Согласное и встречное соединение индуктивных элементов

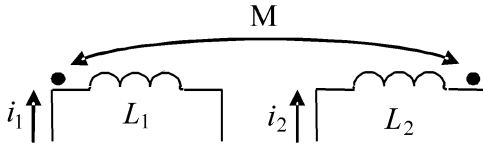
Для определения знаков в соответствующих выражениях на схемах прибегают к условным обозначениям.

Одноименные зажимы катушек (например, северные полюса или начало обмотки) обозначают символом  $\bullet$  (рис. 2), а сам факт индуктивной связи катушек представлен на схеме дугой с двумя стрелками и параметром  $M$ .

Знак «+» в выражениях (1.12) и (1.13) соответствует случаю, когда токи в катушках ориентированы относительно своих зажимов  $\bullet$  одинаково (например, втекают в эти зажимы, как показано на рис. 2, а). В этом случае говорят, что катушки включены согласо.



a)

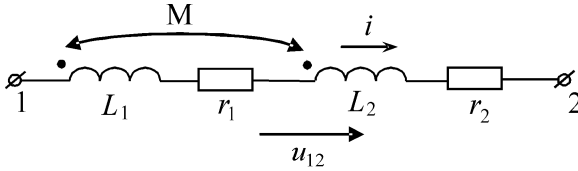


б)

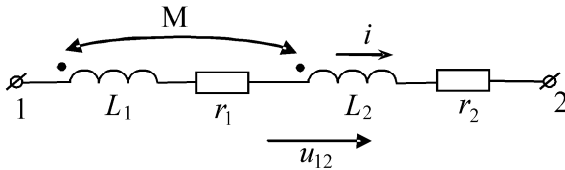
Рис. 2

Знак « $\leftrightarrow$ » в выражениях (1.12) и (1.13) соответствует случаю, когда токи в катушках ориентированы относительно своих зажимов  $\bullet$  противоположно (например,  $i_1$  – втекает,  $i_2$  – вытекает из зажима, как показано на рис.2,б). В этом случае говорят, что катушки соединены встречно.

В качестве примера рассмотрим схемы на рис. 3.



a)



б)

Рис. 3



На этом рисунке два индуктивных элемента соединены последовательно ( $i_1 = i_2 = i$ ). Тогда полное падение напряжения  $u_{12}$  для рис. 3,а:

$$\begin{aligned} u_{12} &= (L_1 \frac{di}{dt} + M \frac{di}{dt}) + ir_1 + (L_2 \frac{di}{dt} + M \frac{di}{dt}) + ir_2 = \\ &= i(r_1 + r_2) + (L_1 + L_2 + 2M) \frac{di}{dt} \end{aligned}$$

и для рис. 3б:

$$\begin{aligned} u_{12} &= (L_1 \frac{di}{dt} - M \frac{di}{dt}) + ir_1 + (L_2 \frac{di}{dt} - M \frac{di}{dt}) + ir_2 = \\ &= i(r_1 + r_2) + (L_1 + L_2 - 2M) \frac{di}{dt}. \end{aligned} \tag{1.14}$$

Остается добавить, что в первом случае катушки соединены согласно, во втором – встречно.

Пусть токи в цепи (как и напряжение) изменяются со временем следующим образом:

$$i(t) = I_m \sin(\omega t + \varphi).$$

Тогда ток  $i(t)$  можно представить:

$$i(t) = \text{Im}[ \dot{I} e^{j\omega t} ],$$

где  $\dot{I}$  – так называемая комплексная амплитуда тока  $\dot{I} = I_m e^{j\varphi}$ .

Выражение для комплексной амплитуды падения напряжения от взаимной индукции  $u = M \frac{di}{dt}$  в этом случае можно представить в следующем виде:

$$\dot{U} = j \omega M \dot{I}.$$

Здесь  $j \omega M$  можно рассматривать как комплексное сопротивление взаимной индукции, которое в радиотехнике называют сопротивлением связи.

Для схем, представленных на рис. 3, в случае гармонического тока комплексные амплитуды падения напряжения на зажимах 1–2 получаются следующим образом.

Для рис. 3,а:

$$\begin{aligned} \dot{U}_{12} &= (j\omega L_1 \dot{I} + j\omega M \dot{I}) + r_1 \dot{I} + (j\omega L_2 \dot{I} + j\omega M \dot{I}) + r_2 \dot{I} = \\ &= (r_1 + r_2) \dot{I} + j\omega(L_1 + L_2 + 2M) \dot{I}. \end{aligned} \quad (1.15)$$

Для рис.3б:

$$\begin{aligned} \dot{U}_{12} &= (j\omega L_1 \dot{I} - j\omega M \dot{I}) + r_1 \dot{I} + (j\omega L_2 \dot{I} - j\omega M \dot{I}) + r_2 \dot{I} \\ &= (r_1 + r_2) \dot{I} + j\omega(L_1 + L_2 - 2M) \dot{I}. \end{aligned}$$

### 1.3. Коэффициент связи

Помимо взаимной индуктивности  $M$  степень индуктивной связи двух катушек характеризуют с помощью так называемого коэффициента связи  $K_{\text{св}}$ , который определяется следующим образом (см. рис.1):

$$K_{\text{св}} = \sqrt{\frac{\Phi_{12}}{\Phi_1} \cdot \frac{\Phi_{21}}{\Phi_2}}. \quad (1.16)$$

Здесь в числителе стоят магнитные потоки, пошедшие на взаимную индукцию, а в знаменателе магнитные потоки в контурах, вырабатываемые их собственными токами. Учитывая, что  $\Phi_{12} = Mi_1$ ,  $\Phi_{21} = Mi_2$ ,  $\Phi_1 = L_1 i_1$ ,  $\Phi_2 = L_2 i_2$  и подставляя эти выражения в (1.16) получим:

$$K_{\text{св}} = \sqrt{\frac{Mi_1}{L_1 i_1} \cdot \frac{Mi_2}{L_2 i_2}} = \frac{M}{\sqrt{L_1 L_2}}. \quad (1.17)$$

Из формулы (1.16) следует, что  $K_{\text{св}}$  всегда меньше единицы, так как  $\Phi_{12} \leq \Phi_1$ , а  $\Phi_{21} \leq \Phi_2$ . Таким образом, для  $K_{\text{св}}$  справедливо:

$$0 \leq K_{\text{св}} \leq 1. \quad (1.18)$$

Случай расположения катушек, когда  $K_{\text{св}}$  близок к 1, изображен на рис. 4,а. Это достигается бифилярным способом намотки катушек. Напротив, значение  $K_{\text{св}}$  близко к 0, для случая рис. 4,б, когда оси катушек расположены перпендикулярно друг к другу.

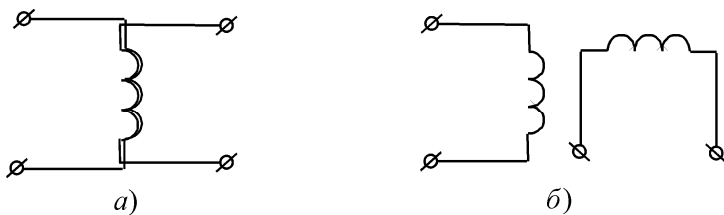


Рис. 4

С введением коэффициента связи можно легко показать, что величина  $(L_1 + L_2 - 2M)$ , стоящая в выражениях (1.14) и (1.15), всегда положительна.

Образует неравенство:

$$(\sqrt{L_1} - \sqrt{L_2})^2 \geq 0$$

или 
$$L_1 + L_2 - 2\sqrt{L_1 L_2} \geq 0, \quad L_1 + L_2 \geq 2\sqrt{L_1 L_2}. \quad (1.19)$$

Из (1.17) получим  $\sqrt{L_1 L_2} = \frac{M}{K_{св}}$ . Подставляем это в (1.19):

$$L_1 + L_2 \geq 2 \frac{M}{K_{св}}. \quad (1.20)$$

Так как  $K_{св} \leq 1$ , то неравенство (1.20) только усилится, если:

$$L_1 + L_2 \geq 2M.$$

Откуда получаем искомое доказательство:

$$L_1 + L_2 - 2M \geq 0.$$

#### 1.4. Трансформатор без ферромагнитного сердечника

На рис. 5 изображена схема линейной электрической цепи, содержащая схему замещения трансформатора без ферромагнитного сердечника в случае гармонических токов и напряжений.

Трансформатор содержит в данном случае индуктивно связанные обмотки, включенные встречно (что, впрочем, не имеет принципиального значения).

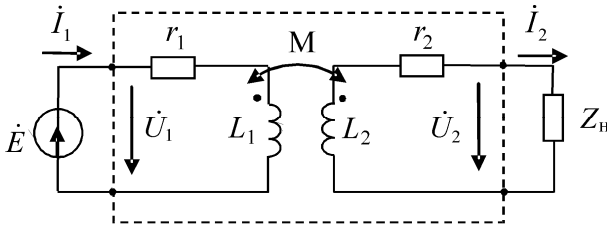


Рис. 5

В соответствии со вторым законом Кирхгофа уравнения для первичного и вторичного контуров выглядят следующим образом:

$$\begin{aligned} \dot{U}_1 &= (r_1 + j\omega L_1)\dot{I}_1 - j\omega M\dot{I}_2, \\ -\dot{U}_2 &= (r_2 + j\omega L_2)\dot{I}_2 - j\omega M\dot{I}_1. \end{aligned} \quad (1.21)$$

Добавим и вычтем в правой части второго уравнения  $j\omega M\dot{I}_2$  и перегруппировав члены уравнений, получим:

$$\begin{aligned} \dot{U}_1 &= X[r_1 + j\omega(L_1 - M) + j\omega M]\dot{I}_1 - j\omega M\dot{I}_2, \\ -\dot{U}_2 &= -j\omega M\dot{I}_1 + [r_2 + j\omega(L_2 - M) + j\omega M]\dot{I}_2. \end{aligned} \quad (1.22)$$

Систему (1.22) можно рассматривать как систему уравнений, составленных по методу контурных токов для электрической цепи, содержащей два контура с контурными токами  $\dot{I}_1$  и  $\dot{I}_2$ . Схема этой цепи представлена на рис. 6.

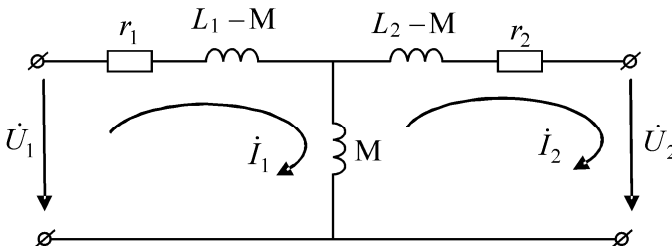


Рис. 6

Таким образом, данная схема может рассматриваться в качестве схемы замещения (эквивалентной схемы) трансформатора без фер-

ромагнитного сердечника. В отличие от схемы рис. 5 в данной схеме первичные и вторичные цепи трансформатора связаны не индуктивно, а электрически.

Подобный прием, связанный с переходом от индуктивной и кондуктивной (электрической) связи дает возможность непосредственно применять для расчета цепей, содержащих трансформаторы, методы контурных токов и узловых напряжений по разработанным алгоритмам.

В заключение этого раздела рассмотрим понятие «входное сопротивление» трансформатора. Если нагрузка  $Z_H$ , как это изображено на рис. 5, присоединена к источнику  $\dot{E}$  не непосредственно, а через трансформатор, то в соответствии с (1.21):

$$\begin{aligned}\dot{U}_1 &= (r_1 + j\omega L_1)\dot{I}_1 \pm j\omega M\dot{I}_2, \\ 0 &= \pm j\omega M\dot{I}_1 + (r_2 + j\omega L_2 + Z_H)\dot{I}_2.\end{aligned}\quad (1.23)$$

В системе (1.23) учитывается как согласное (знак +), так и встречное соединение обмоток трансформатора (знак «-»).

Из второго уравнения системы (1.23) получим:

$$\dot{I}_2 = \frac{\mp j\omega M\dot{I}_1}{r_2 + j\omega L_2 + Z_H}.$$

Подставляя значение  $\dot{I}_2$  в первое уравнение системы (1.23) получим выражение для входного сопротивления трансформатора:

$$Z_{1\text{вх}} = \frac{\dot{U}_1}{\dot{I}_1} = r_1 + j\omega L_1 + \frac{(\omega M)^2}{r_2 + j\omega L_2 + Z_H}.\quad (1.24)$$

Последнее слагаемое в выражении (1.24) можно трактовать как комплексное сопротивление, вносимое из вторичной цепи в первичную. Это иллюстрирует рис. 7, где изображены две эквивалентные схемы 7,а и 7,б.

Анализируя выражение (1.24), можно отметить, что включение трансформатора между источником и нагрузкой трансформирует (изменяет) входное сопротивление цепи:  $Z_H$  без трансформатора и  $Z_{1\text{вх}}$  в соответствии с (1.24) при наличии трансформатора.

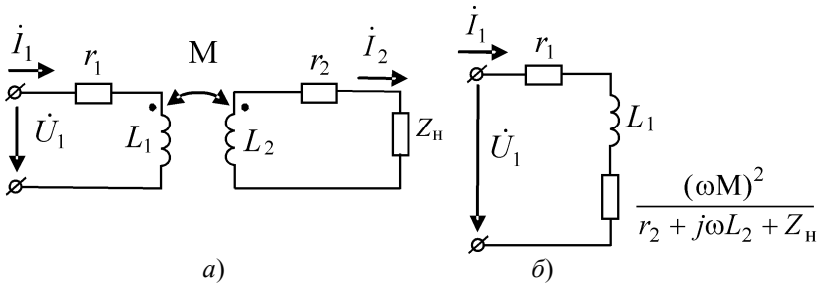


Рис. 7

Следует обратить также внимание, что входное сопротивление трансформатора не зависит от способа включения его обмоток (согласного или встречного).

### Примеры

#### Задача 1.1

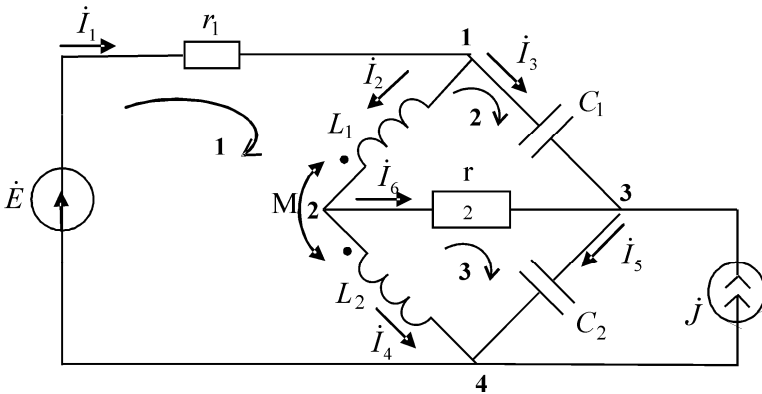


Рис. 8

Составить уравнения по законам Кирхгофа для схемы электрической цепи, изображенной на рис.8.

Решение:

Схема содержит четыре узла. Соответственно линейно-независимые уравнения по первому закону Кирхгофа для узлов 1, 2, 3 выглядят следующим образом:

$$\begin{aligned} \dot{I}_1 - \dot{I}_2 - \dot{I}_3 &= 0, \\ \dot{I}_2 - \dot{I}_6 - \dot{I}_4 &= 0, \\ \dot{I}_3 + \dot{I}_6 - \dot{I}_5 - \dot{J} &= 0. \end{aligned}$$

Уравнения по второму закону Кирхгофа относительно независимых контуров 1, 2, 3 (обход контуров по часовой стрелке) представляются в следующем виде:

$$\begin{aligned} r_1 \dot{I}_1 + j\omega L_1 \dot{I}_2 - j\omega M \dot{I}_4 + j\omega L_2 \dot{I}_4 - j\omega M \dot{I}_2 &= \dot{E}, \\ \frac{1}{j\omega C_1} \dot{I}_3 - r_2 \dot{I}_6 - (j\omega L_1 \dot{I}_2 - j\omega M \dot{I}_4) &= 0, \\ r_6 \dot{I}_6 + \frac{1}{j\omega C_2} \dot{I}_5 - (j\omega L_2 \dot{I}_4 - j\omega M \dot{I}_2) &= 0. \end{aligned}$$

В данном случае индуктивно связанные элементы  $L_1$  и  $L_2$  соединены встречно.

### Задача 1.2

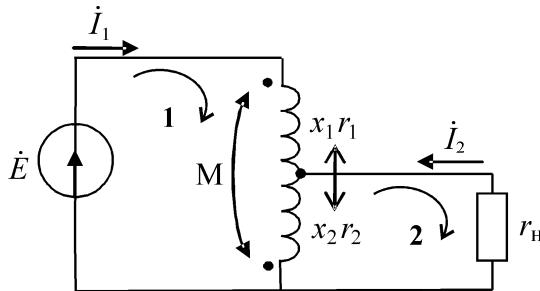


Рис. 9

Для схемы электрической цепи, изображенной на рис.9, известно:  $\dot{E}$ ,  $M$ ,  $x_1$ ,  $x_2$ ,  $r_1$ ,  $r_2$ ,  $\omega$ ,  $r_H$ . Составить уравнения для определения токов  $\dot{I}_1$  и  $\dot{I}_2$ .

Решение:

Схема на рис. 9 является эквивалентной схемой автотрансформатора с подвижным контактом. Обозначение обмоток как  $x_1 r_1$  и  $x_2 r_2$  означает последовательное соединение индуктивного эле-

мента и резистора; при этом  $x_1$  и  $x_2$  – индуктивные сопротивления (рис. 10).

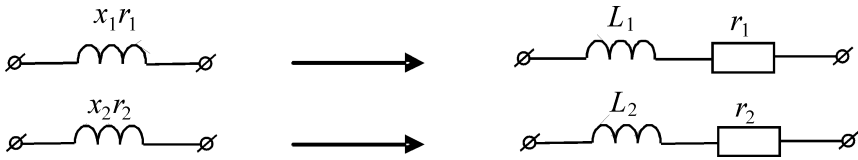


Рис. 10

В соответствии со вторым законом Кирхгофа для левого и правого контуров (обход контуров 1 и 2 по часовой стрелке):

$$r_1 \dot{I}_1 + [jx_1 \dot{I}_1 - j\omega M (\dot{I}_1 + \dot{I}_2)] + r_2 \dot{I}_2 + [jx_2 (\dot{I}_1 + \dot{I}_2) - j\omega M \dot{I}_1] = \dot{E};$$

$$-r_H \dot{I}_2 - [r_2 (\dot{I}_1 + \dot{I}_2) + jx_2 (\dot{I}_1 + \dot{I}_2) - j\omega M \dot{I}_1] = 0.$$

Задача 1.3

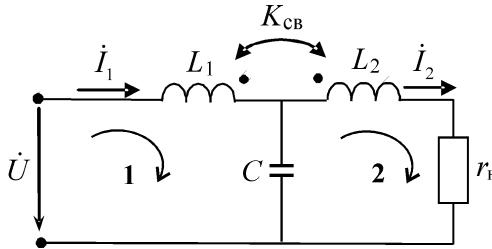


Рис. 11

На рис. 11 изображена так называемая схема Бушера. Известно:  $\dot{U}$ ,  $x_1$ ,  $x_2$ ,  $x_c$ ,  $K_{св}$ . При этом  $x_1 = x_2 = x_c = x$ . Показать, что ток в нагрузке  $\dot{I}_2$  не зависит от сопротивления нагрузки  $r_H$ .

Решение:

Как и в предыдущем случае  $x_1$  и  $x_2$  – индуктивные сопротивления катушек  $x_1 = \omega L_1$ ,  $x_2 = \omega L_2$ ,  $x_c$  – емкостное сопротивление  $x_c = \frac{1}{\omega C}$ . Так как в уравнения войдет параметр  $M$  – взаимная индуктивность, выразим его через известные значения  $x_1$ ,  $x_2$  и  $K_{св}$ :



$$K_{\text{св}} = \frac{M}{\sqrt{L_1 L_2}} = \frac{\omega M}{\sqrt{\omega L_1 \cdot \omega L_2}} = \frac{\omega M}{K_{\text{св}} \sqrt{x_1 x_2}},$$

так как  $x_1 = x_2 = x$ , то

$$\omega M = K_{\text{св}} x. \quad (1.25)$$

В соответствии со вторым законом Кирхгофа, уравнение для первого контура будет выглядеть следующим образом:

$$\dot{U} = \dot{I}_1 j x_1 - \dot{I}_2 j \omega M - (\dot{I}_1 - \dot{I}_2) \cdot \frac{x_{\text{с}}}{j}.$$

Здесь предполагается, что в соответствии с первым законом Кирхгофа ток через емкостной элемент равен  $\dot{I}_1 - \dot{I}_2$ . Подставляя в последнее уравнение значение  $\omega M$  через  $K_{\text{св}} x$  из (1.25) и учитывая, что  $x_1 = x_2 = x_{\text{с}} = x$ , получаем:

$$\dot{U} = -\dot{I}_2 j K_{\text{св}} x + \dot{I}_2 j x.$$

Отсюда:

$$\dot{I}_2 = \frac{\dot{U}}{j x (1 - K_{\text{св}})}.$$

Как видно из последнего выражения, которое представляет ток в нагрузке, оно действительно не зависит от сопротивления нагрузки  $r_{\text{н}}$ .

### 2.1. Резонанс напряжений

#### 2.1.1. Условия резонанса напряжений

Это явление наблюдается в электрической цепи с последовательным соединением участков, содержащих индуктивности и емкости. Условием резонанса напряжения является:

$$\operatorname{Im} Z = 0, \quad (2.1)$$

где  $Z$  представляет собой полное комплексное сопротивление цепи.

Исследование резонанса напряжений будем проводить на примере простейшей цепи с последовательным соединением  $r$ ,  $L$ ,  $C$ , так называемого последовательного колебательного контура (рис. 12).

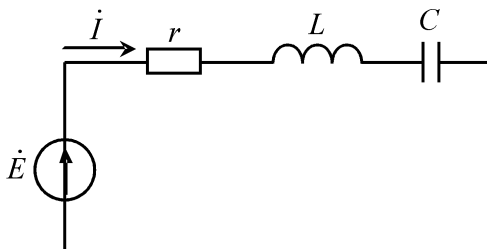


Рис. 12

Комплексное сопротивление этой цепи равно:

$$Z = r + j \left( \omega L - \frac{1}{\omega C} \right).$$

В соответствии с (2.1) резонанс напряжений наступает в цепи, если

$$\omega L - \frac{1}{\omega C} = 0. \quad (2.2)$$

Из последнего выражения определяется так называемая резонансная частота, т.е. частота, при которой в рассматриваемой цепи возникает резонанс напряжений:

$$\omega_0 = \frac{1}{\sqrt{LC}}. \quad (2.3)$$

Выражение для амплитуды тока в последовательном колебательном контуре выглядит следующим образом:

$$I = |\dot{i}| = \frac{|\dot{E}|}{|Z|} = \frac{E}{\left| r + j \left( \omega L - \frac{1}{\omega C} \right) \right|}.$$

В режиме резонанса напряжения  $\text{Im}Z = 0$ ,  $|Z|$  достигает минимума, равного  $r$ , а амплитуда тока достигает максимума и становится равной  $I_0$ :

$$I_0 = \frac{E}{r}.$$

В контурах с малыми потерями при  $r \rightarrow 0$  амплитуда тока может достигать весьма больших значений. Это и объясняет то обстоятельство, что рассматриваемый режим работы цепи получил название резонанса.

Комплексные амплитуды напряжения на индуктивности и емкости на резонансе соответственно равны:

$$\begin{aligned} \dot{U}_{L_0} &= j\omega_0 L \dot{I}_0 = \omega_0 L \dot{I}_0 e^{j\frac{\pi}{2}}, \\ \dot{U}_{C_0} &= \frac{1}{j\omega_0 C} \dot{I}_0 = \frac{1}{\omega_0 C} \dot{I}_0 e^{-j\frac{\pi}{2}}. \end{aligned} \quad (2.4)$$

Так как в режиме резонанса напряжения в соответствии с (2.2) индуктивное и емкостное сопротивления равны, то из (2.4) следует:

$$\dot{U}_{L_0} = -\dot{U}_{C_0},$$

что иллюстрируется векторной диаграммой, изображенной на рис. 13.

Подобное соотношение, которое устанавливается между  $\dot{U}_L$  и  $\dot{U}_C$  в режиме резонанса напряжений объясняет наличие термина «напряжение» в названии данного режима.

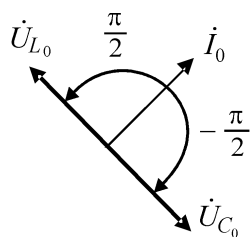


Рис. 13

Следствием равенства  $\dot{U}_{L_0} = -\dot{U}_{C_0}$  является тот факт, что напряжение на участке цепи  $L - C$  в резонансе напряжений равно нулю:

$$\dot{U}_{L-C_0} = \dot{U}_{L_0} - \dot{U}_{C_0} = 0.$$

Последнее равенство свидетельствует о весьма интересной картине, когда напряжение на отдельных элементах цепи (в данном случае на  $L$  и  $C$ ) существует, а на участке цепи, содержащем их последовательное соединение, равно нулю.

Таким образом, в режиме резонанса напряжений эквивалентная схема цепи, изображенная на рис. 12, выглядит следующим образом (рис. 14).

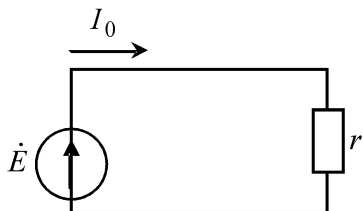


Рис. 14

Это же непосредственно следует из равенства (2.2), иллюстрирующего условие резонанса напряжений: реактивная часть комплексного сопротивления цепи в этом случае обращается в ноль.

### 2.1.2. Энергетические соотношения при резонансе напряжений

Рассмотрим вопрос о распределении энергии между элементами электрической цепи (рис. 12) в режиме резонанса напряжений.

Пусть в этом режиме ток в цепи выражается как

$$i(t) = I_m \cos \omega_0 t.$$

Соответственно, напряжение на емкости:

$$U_C(t) = U_{C_m} \cos \left( \omega_0 t + \frac{\pi}{2} \right) = U_{C_m} \sin \omega_0 t.$$

Мгновенные значения энергии магнитного и электрического полей соответственно равны:

$$\begin{aligned} W_L(t) &= \frac{LI_m^2}{2} \cos^2 \omega_0 t = W_{L_{\max}} \cos^2 \omega_0 t, \\ W_C(t) &= \frac{CU_{C_m}^2}{2} \sin^2 \omega_0 t = W_{C_{\max}} \sin^2 \omega_0 t. \end{aligned} \quad (2.5)$$

Покажем, что при резонансе напряжений максимумы энергии магнитного поля в индуктивном  $W_{L_{\max}} = \frac{LI_m^2}{2}$  и электрического поля в емкости  $W_{C_{\max}} = \frac{CU_{Cm}^2}{2}$  равны.

В самом деле, рассмотрим разность:

$$\Delta W_{LC_{\max}} = W_{L_{\max}} - W_{C_{\max}} = \frac{LI_m^2}{2} - \frac{CU_{Cm}^2}{2} = \frac{1}{2\omega_0} [\omega_0 LI_m^2 - \omega_0 CU_{Cm}^2].$$

Вынесем за скобки  $\omega_0 C$  и учтем, что при резонансе напряжений  $\omega_0 L = \frac{1}{\omega_0 C}$ , тогда:

$$\Delta W_{LC_{\max}} = \frac{C}{2} [(\omega_0 LI_m^2)^2 - U_{Cm}^2]. \quad (2.6)$$

В рассматриваемом режиме, как было показано выше, между величинами  $\dot{U}_L$  и  $\dot{U}_C$  существует соотношение:  $\dot{U}_L = -\dot{U}_C$ . Так как  $U_{L_{\max}} = |\dot{U}_L|$ , а  $U_{C_{\max}} = |\dot{U}_C|$ , то из этого следует, что в резонансе напряжений  $U_{Lm} = U_{Cm}$ . Принимая это во внимание, а также, что  $U_{Lm} = \omega_0 LI_m$ , можно заключить, что

$$\Delta W_{LC_{\max}} = 0,$$

что и доказывает искомое утверждение.

На рис. 15 изображены зависимости величин  $W_L$  и  $W_C$  от времени  $t$ .

Как следует из рис. 15 при резонансе напряжений происходит непрерывное перераспределение энергии (энергообмен) магнитного поля в индуктивности и энергии электрического поля в емкости. При этом суммарная энергия:

$$W_{LC} = W_L + W_C = \frac{LI_m^2}{2} [\cos^2 \omega_0 t + \sin^2 \omega_0 t] = \frac{LI_m^2}{2} = \frac{CU_{Cm}^2}{2}.$$

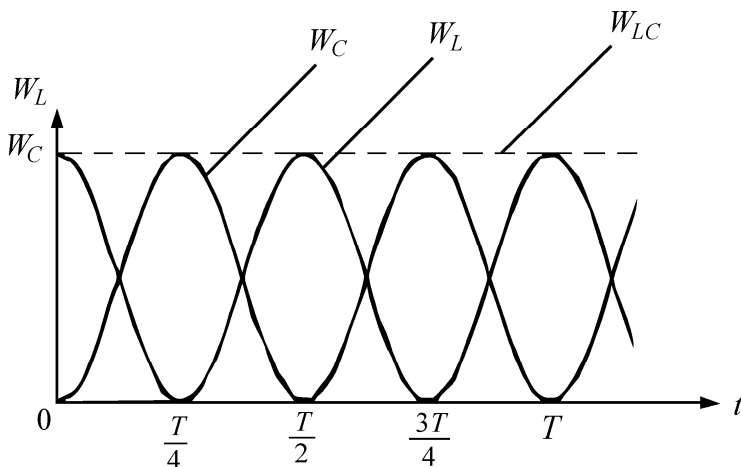


Рис. 15

Таким образом, в режиме резонанса напряжений периодически происходит равный энергообмен между индуктивным и емкостным элементом, когда энергия, первоначально накопленная в контуре, «колеблется» между  $L$  и  $C$ , без участия в этом процессе источника. При этом вся электрическая энергия, поступающая в цепь в режиме резонанса напряжений, расходуется в сопротивлении. Для контура без потерь ( $r = 0$ ) в режиме резонанса в цепь не поступала бы энергия от источника.

### 2.1.3. Частотные характеристики последовательного колебательного контура

Комплексное сопротивление последовательного контура (см. рис.12) можно представить в следующем виде:

$$\begin{aligned}
 Z &= r + j\left(\omega L - \frac{1}{\omega C}\right) = r + j\omega_0 L \left[ \frac{\omega}{\omega_0} - \frac{1}{\omega\omega_0 LC} \right] = \\
 &= r + j\omega_0 L \left[ \frac{\omega}{\omega_0} - \frac{\omega_0}{\omega} \right].
 \end{aligned}
 \tag{2.7}$$

С другой стороны,  $\dot{E} = Z \cdot \dot{I}$ , а  $Z = |Z| e^{j\varphi}$ , где  $\varphi$  – фазовый сдвиг приложенного напряжения относительно тока. В соответствии с (2.7):

$$\varphi = \arg \operatorname{tg} \frac{\omega_0 L}{r} \left[ \frac{\omega}{\omega_0} - \frac{\omega_0}{\omega} \right]. \quad (2.8)$$

Последнее выражение называется фазочастотной или фазовой характеристикой (ФЧХ) последовательного колебательного контура.

Эта же зависимость представлена в виде графика  $\varphi(\omega)$  на рис. 16.

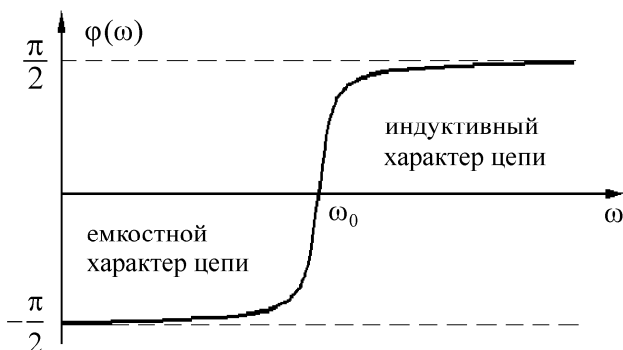


Рис. 16

Зависимость  $\varphi(\omega)$  обращается в ноль при  $\omega = \omega_0$ , что соответствует режиму цепи (резонанс напряжений), который иллюстрирует рис. 14. Для  $\omega < \omega_0$  величина  $\varphi$  становится отрицательной, что соответствует емкостному характеру цепи, а для  $\omega > \omega_0$  величина  $\varphi$  является положительной, что соответствует индуктивному характеру цепи.

Зависимость амплитуд тока и напряжений на емкостном и индуктивном элементах цепи называют амплитудно-частотными характеристиками (АЧХ) последовательного колебательного контура.

Выражения для этих значений можно представить в следующем виде:

$$I = \frac{E}{\sqrt{r^2 + \left(\omega L - \frac{1}{\omega C}\right)^2}};$$

$$U_L = \frac{E\omega L}{\sqrt{r^2 + \left(\omega L - \frac{1}{\omega C}\right)^2}};$$

$$U_C = \frac{E \frac{1}{\omega C}}{\sqrt{r^2 + \left(\omega L - \frac{1}{\omega C}\right)^2}}.$$

На рис. 17 представлены зависимости этих величин от частоты.

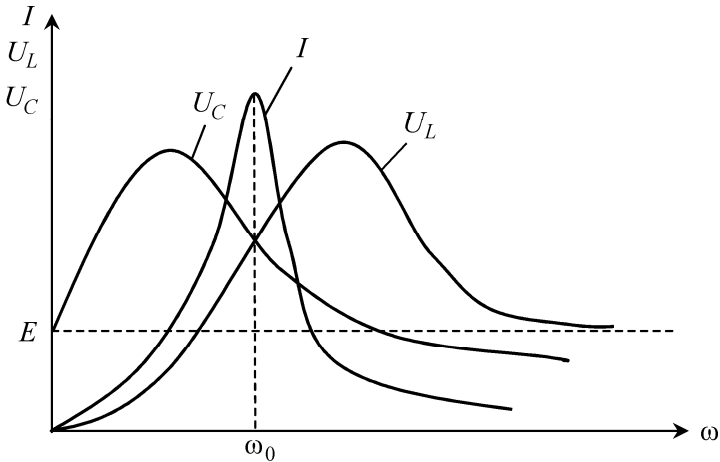


Рис. 17

Как и следовало ожидать, ток достигает максимума, равного  $\frac{E}{r}$ , в режиме резонанса напряжений ( $\omega = \omega_0$ ). В этом же режиме  $U_L = U_C$ . При  $\omega$  стремящейся к нулю и  $\omega$  стремящейся к бесконечности, ток стремится к нулю. Это связано с тем обстоятельством, что в первом случае неограниченно возрастает емкостное, а во втором случае индуктивное сопротивление контура.



Из выражения (2.1) следует, что настройка контура в резонанс может достигаться за счет изменения частоты генератора, индуктивности или емкости элементов цепи. Первый вариант рассмотрен выше и иллюстрируется рис. 16, 17.

На рис. 18 изображены зависимости тока в последовательном колебательном контуре от индуктивности и емкости цепи.

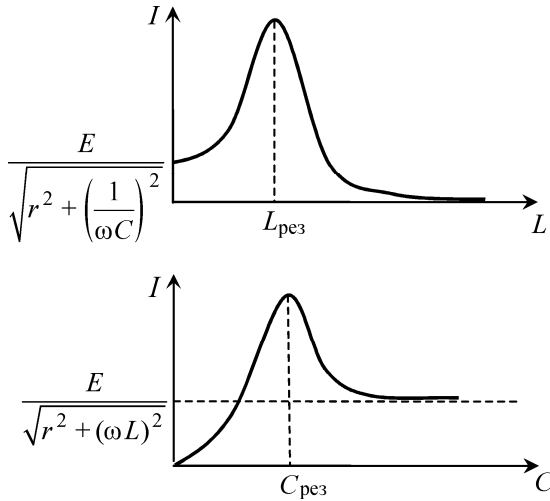


Рис. 18

При значении  $L = L_{\text{рез}} = \frac{1}{\omega_0^2 C}$  цепь переходит в режим резонанса напряжений. Такая же ситуация происходит при  $C = C_{\text{рез}} = \frac{1}{\omega_0^2 L}$ .

#### 2.1.4. Добротность последовательного колебательного контура

По определению добротность колебательного контура – это величина, которая определяется следующим выражением:

$$Q = \omega_0 \frac{W_{\text{max}}}{P}. \quad (2.9)$$

где  $W_{\max}$  – максимальная энергия, запасенная в контуре на резонансной частоте,  $P$  – мощность активных потерь при тех же условиях.

На резонансе напряжений

$$W_{\max} = W_{L_{\max}} = W_{C_{\max}} = \frac{LI_0^2}{2} = \frac{CU_{Cm}^2}{2}. \text{ В то же время } P = I_0^2 r.$$

Таким образом, выражение для добротности контура приобретает следующий вид:

$$Q = \frac{\omega_0 L}{r} = \frac{1}{\omega_0 C r} = \frac{\sqrt{L}}{r} = \frac{\rho}{r}, \quad (2.10)$$

где величина  $\rho = \sqrt{\frac{L}{C}}$  получила название характеристического сопротивления контура.

Из выражения (2.10) следует, что добротность характеризует степень превышения реактивных сопротивлений  $\omega_0 L$  и  $\frac{1}{\omega_0 C}$  над активным сопротивлением  $r$ .

Учитывая, что при резонансе  $\dot{U}_{L_0} = -\dot{U}_{C_0} = j\omega_0 L \dot{I}_0$ , а  $I_0 = \frac{E}{r}$  в соответствии с (2.10), получим:

$$\dot{U}_{L_0} = -\dot{U}_{C_0} = \frac{E}{r} j\omega_0 L = jEQ. \quad (2.11)$$

Из (2.11) следует, что

$$Q = \frac{U_{L_0}}{E} = \frac{U_{C_0}}{E}. \quad (2.12)$$

Таким образом, добротность рассматриваемого контура определяется отношением напряжения на  $L$  или  $C$  при резонансе к величине приложенного к контуру напряжения.

На рис. 19 изображены зависимости амплитуды тока от частоты для двух последовательных колебательных контуров с одинаковой резонансной частотой и разными значениями добротности, причем  $Q_1 > Q_2$ . Таким образом, как это следует из рис. 19, добротность

может характеризовать также степень «остроты» резонансной кривой тока вблизи резонансной частоты в последовательном колебательном контуре.

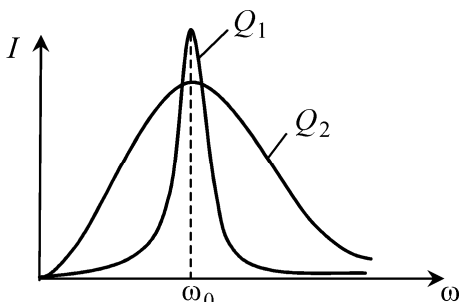


Рис. 19

## Примеры

### Задача 2.1

В схеме электрической цепи рис. 12  $r = 10$  [Ом],  $L = 1$  [Гн],  $C = 1$  [мкФ]. Определить резонансную частоту  $\omega_0$ , добротность контура  $Q$ , а также амплитуду синусоидального напряжения на емкости  $U_C$ , если на вход цепи подано синусоидальное напряжение с амплитудой 10 мВ на резонансной частоте.

Решение:

В соответствии с (2.3) резонансная частота контура  $\omega_0 = \frac{1}{\sqrt{LC}} = 10^3$  рад/с. В соответствии с (2.10) добротность контура  $Q = \frac{\omega_0 L}{r} = 100$ . В соответствии с (2.12) амплитуда напряжения на емкости  $U_C = Q \cdot E = 1$  В.

### Задача 2.2

Цепь, схема которой изображена на рис. 20, находится в режиме резонанса напряжений. Значение резонансной частоты  $f_0 = 50$  Гц. Значение соответствующих амплитуд напряжений и тока в контуре:  $U = 220$  В,  $U_{rL} = 204$  В,  $U_C = 180$  В,  $I = 4$  А. Определить параметры индуктивной катушки –  $r$ ,  $L$ , емкость  $C$  и сопротивление  $r_1$ .

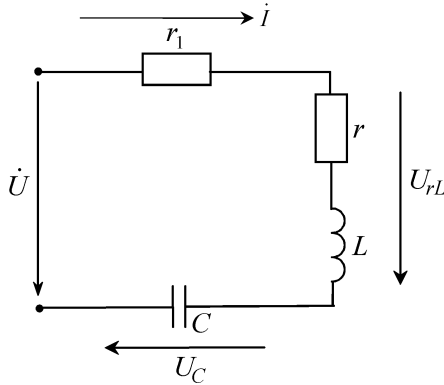


Рис. 20

Решение:

1. На резонансе напряжений  $U_C = U_L$  и  $\omega_0 LI = U_L$ , отсюда  $L = \frac{U_C}{2\pi f_0 I} = 0,143$  Гн.

2. Напряжение на емкости  $U_C = I \frac{1}{\omega_0 C}$ , отсюда  $C = \frac{I}{2\pi f_0 U_C} = 70,8$  мкФ.

3. Комплексная амплитуда напряжения на катушке  $\dot{U}_{rL} = \dot{I}(r + j\omega_0 L)$ . Отсюда  $r = \left[ \left( \frac{U_{rL}}{I} \right)^2 - (2\pi f_0 L)^2 \right]^{1/2} = 24$  Ом.

4. В резонансе напряжений (в соответствии с рис. 2 и 3)  $U = I(r_1 + r)$  отсюда  $r_1 = \frac{U}{I} - r = 31$  Ом.

### Задача 2.3

При частоте  $f = 50$  Гц сопротивление катушки равно 41 Ом, а при постоянном токе – 9 Ом. При какой частоте наступает резонанс, если последовательно с катушкой включен конденсатор емкостью  $C = 51$  мкФ?

Решение:

Комплексное сопротивление катушки (последовательное соединение  $r$  и  $L$ ) равно:

$$Z = r + j\omega L.$$

При частоте  $f = 50$  Гц сопротивление катушки равно 41 Ом, т.е.  $|Z| = 41$  Ом, следовательно  $41 = \sqrt{r^2 + (\omega L)^2}$ , откуда  $L = \frac{1}{2\pi f} \sqrt{|Z|^2 - r^2} = 0,127$  Гн. Резонансная частота  $f_0 = \frac{1}{2\pi\sqrt{LC}} = 62,5$  Гц.

#### Задача 2.4

Последовательный колебательный контур подключен к синусоидальной ЭДС с амплитудой  $E = 1,6$  В и внутренним сопротивлением  $R = 16$  Ом. При какой величине сопротивления контура  $r$  в нем выделится максимальная активная мощность при резонансе напряжений и чему она будет равна?

Решение:

В режиме резонанса напряжений контур эквивалентен активному сопротивлению  $r$ . Поэтому в данном режиме цепь будет содержать источник ЭДС с внутренним сопротивлением и активное сопротивление контура (рис. 21).

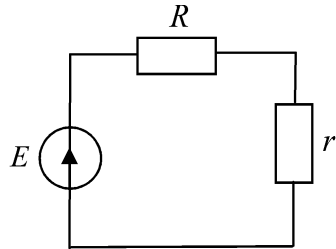


Рис. 21

В соответствии с теоремой о максимальной активной мощности в нагрузке, в нагрузке выделится максимальная активная мощность, если  $Z_{\Gamma} = Z_{\text{н}}^*$ , где  $Z_{\Gamma}$  и  $Z_{\text{н}}$  комплексные сопротивления генератора и нагрузки соответственно. Так как в данном случае  $Z_{\Gamma} = R$ , а  $Z_{\text{н}} = r$ , то при  $r = R = 16$  Ом в активном сопротивлении контура при резонансе будет выделяться максимальная активная мощность:

$$P = I_g^2 \cdot r = \left( \frac{E_d}{R + r} \right)^2 \cdot r,$$

где  $I_d$  и  $E_d$  – действующие значения переменного тока и ЭДС:

$$I_g = \frac{I}{\sqrt{2}}x, \quad E_g = \frac{E}{\sqrt{2}}x. \text{ Отсюда } P = 20 \text{ мВт.}$$

## 2.2. Резонанс токов

### 2.2.1. Условия резонанса тока

Это явление может возникать в электрической цепи, которая содержит параллельные ветви, причем в одной из ветвей имеется индуктивная катушка (или индуктивный элемент), а в другой конденсатор (или емкостной элемент). Резонанс токов достигается при выполнении условия:

$$\text{Im}Y = 0, \quad (2.13)$$

где  $Y$  – комплексная проводимость участка цепи (содержащего указанные параллельные ветви).

Рассмотрим простейшую модель участка электрической цепи (рис. 22) с тремя параллельными ветвями. В одной ветви резистивный элемент с сопротивлением  $r$  (и соответственно с проводимостью  $g = \frac{1}{r}$ ). Во второй ветви имеется индуктивный элемент, индуктивность которого  $L$ , а в третьей ветви – емкостной элемент, емкость которого  $C$ .

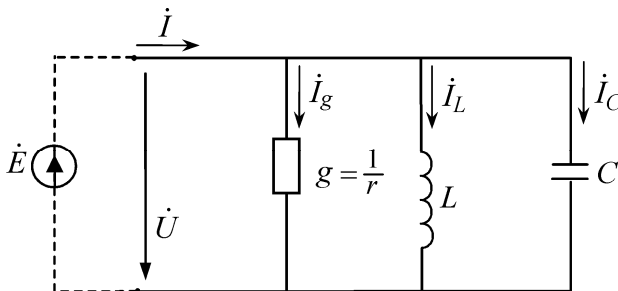


Рис. 22

Комплексная проводимость участка равна:

$$Y = g + \frac{1}{j\omega L} + j\omega C = g - j\left(\frac{1}{\omega L} - \omega C\right). \text{ В соответствии с (2.13)}$$

резонанс токов наступает, когда:  $\frac{1}{\omega L} - \omega C = 0$ . Это уравнение имеет

один вещественный корень  $\omega_0 = \frac{1}{\sqrt{LC}}$ . Очевидно, что полученное

значение резонансной частоты при резонансе токов совпадает со значением резонансной частоты в последовательном контуре при резонансе напряжений (см. формулу (2.3)). Важно отметить, что на резонансной частоте проводимость всего участка является вещественной  $Y(\omega_0) = g$ !

Пусть к рассматриваемому участку приложено напряжение  $\dot{U}$  и по параллельным ветвям, соответственно, протекают токи  $\dot{I}_g$ ,  $\dot{I}_L$ ,  $\dot{I}_C$ , причем общий ток  $\dot{I} = \dot{I}_g + \dot{I}_L + \dot{I}_C$  (согласно первому закону Кирхгофа).

Сохраняя неизменное значение амплитуды приложенного напряжения, проанализируем, как будут меняться токи и проводимости ветвей и всего участка при изменении частоты  $\omega$ .

Комплексную амплитуду тока можно выразить через комплексную амплитуду приложенного напряжения  $\dot{U}$  и комплексную проводимость  $Y$  всего участка:  $\dot{I} = \dot{U} \cdot Y = \dot{U} \left[ g - j\left(\frac{1}{\omega L} - \omega C\right) \right]$ . Поскольку при резонансе токов  $Y(\omega_0) = g$  получаем:

$$\dot{I} = \dot{U} \cdot g. \quad (2.14)$$

Это означает, что комплексная амплитуда тока и напряжения прямо пропорциональны, векторы  $\dot{I}$  и  $\dot{U}$  направлены вдоль одной прямой, а потому нет сдвига фаз между общим током и приложенным напряжением. Последний из перечисленных признаков по существу является определением (условия) резонанса в электрических цепях.

Оценим амплитуду общего тока:

$$I = |\dot{I}| = |\dot{U}| \cdot |Y| = U \left| g - j \left( \frac{1}{\omega L} - \omega C \right) \right|.$$

При резонансе токов  $\text{Im}Y = 0$ , поэтому минимальным будет  $|Y| = g$ . Это означает, что амплитуда тока  $I_0 = U \cdot g$  оказывается наименьшей (по сравнению с амплитудой тока на любых других частотах  $\omega \neq \omega_0$ ). Кроме того, важно отметить, что из соотношения (2.14) следует, что при резонансе токов  $\dot{I} = \dot{I}_g$ , т.е. общий ток совпадает с током через ветвь с резистивным элементом. Проводимость ветви с индуктивным элементом обозначим  $y_L = \frac{1}{j\omega L} = -j \frac{1}{\omega L} = -j \cdot b_L$ , где  $b_L = \frac{1}{\omega L}$  – индуктивная проводимость. Проводимость ветви с емкостным элементом обозначим  $y_C = j\omega C = j \cdot b_C$ , где  $b_C = \omega C$  – емкостная проводимость. Комплексные амплитуды токов в ветвях с индуктивным и емкостным элементом, соответственно, можно представить так:

$$\dot{I}_L = \dot{U} \cdot y_L = \dot{U} \cdot \frac{1}{j\omega L} = \frac{1}{\omega L} \cdot \dot{U} \cdot e^{-j\frac{\pi}{2}}, \quad (2.15)$$

$$\dot{I}_C = \dot{U} \cdot y_C = \dot{U} \cdot j\omega C = \omega C \dot{U} \cdot e^{j\frac{\pi}{2}}.$$

Эти соотношения показывают, что векторы  $\dot{I}_L$  и  $\dot{I}_C$  противоположно направлены, и поскольку при резонансе  $\frac{1}{\omega_0 L} = \omega_0 C$ , векторы  $\dot{I}_L$  и  $\dot{I}_C$  будут иметь одинаковую длину. Комплексные амплитуды токов можно записать следующим образом<sup>1</sup>:

---

<sup>1</sup> Термин «характеристическое сопротивление контура  $\rho = \sqrt{\frac{L}{C}}$ », введенный при рассмотрении резонанса напряжений, используется и для резонанса токов.



$$\dot{I}_L = -\dot{I}_C = -\omega_0 C \dot{U} \cdot e^{j\frac{\pi}{2}} = -\frac{\dot{U}}{\sqrt{\frac{L}{C}}} \cdot e^{j\frac{\pi}{2}} = -\frac{\dot{U}}{\rho} e^{j\frac{\pi}{2}}. \quad (2.16)$$

Характерная для резонанса токов векторная диаграмма изображена на рис. 23.

Эта диаграмма выявляет особенности в соотношении, связывающем комплексные амплитуды токов:  $\dot{I}_0 = \dot{I}_g + (\dot{I}_L + \dot{I}_C) = \dot{I}_g$ , так как при резонансе токов  $(\dot{I}_L + \dot{I}_C) = 0$ .

Соотношения (2.15), (2.16) и векторная диаграмма показывают, что при резонансе амплитуды токов  $I_L$  и  $I_C$  могут быть много больше амплитуд токов  $I_0$  и  $I_g$ . Это условие выполняется, когда  $\sqrt{\frac{L}{C}} \ll r$ :

$$I_L = I_C = \frac{|\dot{U}|}{\sqrt{\frac{L}{C}}} \gg \frac{|\dot{U}|}{r} = I_g = I_0. \quad (2.17)$$

Таким образом, в режиме резонанса токов по параллельным ветвям с индуктивным и емкостным элементами, соответственно, протекают равные по величине и противоположные по знаку токи, амплитуды которых могут существенно превосходить амплитуду общего тока. Фактически, внутри контура, образованного двумя указанными ветвями, циркулирует ток  $I_{LC} = I_L = I_C$ , который не вытекает из этого контура (замкнут в нем).

Поэтому рассматриваемый участок электрической цепи, изображенной на рис. 22, можно заменить при резонансе токов более простым эквивалентным участком (рис. 24).

На рис. 24 пунктиром указан  $L$ - $C$ -контур, по которому циркулирует ток  $\dot{I}_{LC}$ . Этот контур не влияет на работу остальной цепи, так

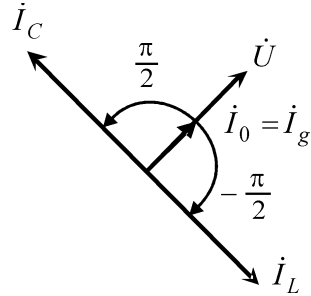


Рис. 23

как общая проводимость емкостной и индуктивной ветвей

$$y_C + y_L = j \left( \omega_0 C - \frac{1}{\omega_0 L} \right) = 0.$$

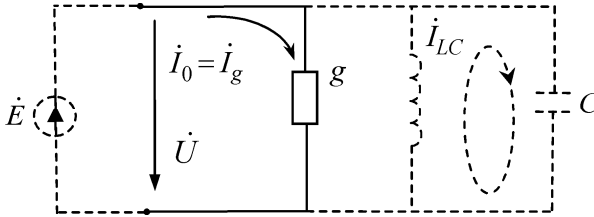


Рис. 24

Рассмотренная модель электрической цепи с параллельным контуром позволила получить простые соотношения между токами в ветвях и приложенным напряжением, простую формулу для резонанса частоты  $\omega_0$ , наглядную векторную диаграмму, элементарную эквивалентную схему участка цепи в режиме резонанса. Вместе с тем эта модель не учитывает активные потери в ветвях с реактивными элементами и имеет ряд других ограничений. Поэтому рассмотрим более значимые для практики модели, схемы которых изображены на рис. 25 и рис. 26.

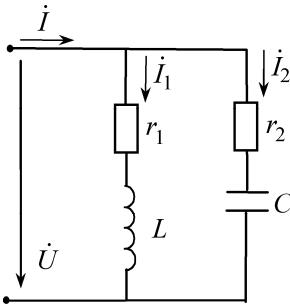


Рис. 25

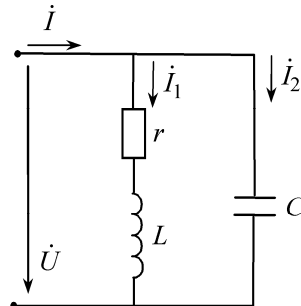


Рис. 26

Для модели электрической цепи, схема которой изображена на рис.25, полная комплексная проводимость  $Y$  складывается из проводимостей  $Y_1$  и  $Y_2$  первой и второй ветви соответственно:

$$Y_1 = \frac{1}{r_1 + j\omega L} = \frac{r_1 - j\omega L}{r_1^2 + (\omega L)^2} = \frac{r_1}{r_1^2 + (\omega L)^2} - j \frac{\omega L}{r_1^2 + (\omega L)^2},$$

$$Y_2 = \frac{1}{r_2 - j \frac{1}{\omega C}} = \frac{r_2 + j \frac{1}{\omega C}}{r_2^2 + \left(\frac{1}{\omega C}\right)^2} = \frac{r_2}{r_2^2 + \left(\frac{1}{\omega C}\right)^2} + j \frac{\frac{1}{\omega C}}{r_2^2 + \left(\frac{1}{\omega C}\right)^2}.$$

Сгруппировав члены вещественной и мнимой части для проводимости  $Y$  получаем:

$$Y = Y_1 + Y_2 = \left[ \frac{r_1}{r_1^2 + (\omega L)^2} + \frac{r_2}{r_2^2 + \left(\frac{1}{\omega C}\right)^2} \right] - j \left[ \frac{\omega L}{r_2^2 + (\omega L)^2} - \frac{\frac{1}{\omega C}}{r_2^2 + \left(\frac{1}{\omega C}\right)^2} \right] = g(\omega) - jb(\omega). \quad (2.18)$$

где  $g(\omega)$  и  $b(\omega)$  – активная и реактивная проводимости соответственно.

Из условия резонанса токов  $\text{Im} Y = 0$  находим резонансную частоту  $\omega_p$ :

$$b(\omega) = 0 \rightarrow \rightarrow \frac{\frac{1}{\omega C}}{r_2^2 + \left(\frac{1}{\omega C}\right)^2} = \frac{\omega L}{r_1^2 + (\omega L)^2} \rightarrow \omega_p = \frac{1}{\sqrt{LC}} \cdot \sqrt{\frac{\frac{L}{C} - r_1^2}{\frac{L}{C} - r_2^2}} = \omega_0 \sqrt{\frac{\rho^2 - r_1^2}{\rho^2 - r_2^2}}, \quad (2.19)$$

где  $\omega_0 = \frac{1}{\sqrt{LC}}$  – резонансная частота для простейшего случая ко-

гда  $r_1 = r_2 = 0$ ,  $\rho = \sqrt{\frac{L}{C}}$  – характеристическое сопротивление контура.

Очевидно, что резонансная частота  $\omega_p$  существует тогда, когда выполняется условие  $\frac{\rho^2 - r_1^2}{\rho^2 - r_2^2} > 0$  или когда  $\begin{cases} r_1 > \rho \\ r_2 > \rho \end{cases}$ , либо  $\begin{cases} r_1 < \rho \\ r_2 < \rho \end{cases}$ .

Важно отметить, что при  $r_1 = r_2 \neq \rho$  резонанс токов возникает на частоте  $\omega_p = \omega_0$ . В том случае, когда  $r_1 = r_2 = \rho$ , условие резонанса  $\text{Im} Y = 0$  (или  $b(\omega) = 0$ ) выполняется на любой частоте, а весь участок цепи может быть заменен эквивалентным сопротивлением  $Z_3 = \rho$ .

Приняв в соотношении (2.19)  $r_2 = 0$  получаем значение резонансной частоты для модели электрической цепи, схема которой изображена на рис. 26:

$$\tilde{\omega}_p = \omega_0 \sqrt{\frac{\rho^2 - r_1^2}{\rho^2}} = \omega_0 \sqrt{1 - \frac{r_1^2}{\rho^2}}.$$

Особенности векторной диаграммы токов в режиме резонанса для цепей (рис. 25 и рис. 26) рассмотрены на конкретных примерах (см. задачи 27 и 28), что позволяет избежать громоздких выкладок, и делает рассмотрение более наглядным.

В режиме резонанса тока полная проводимость  $Y_p = g(\omega_p)$  является вещественной, поэтому (как для участка цепи, изображенного на рис. 25, так и для участка на рис. 26):  $\dot{I}_p = \dot{U} \cdot Y = \dot{U} \cdot g(\omega_p)$ .

Из полученного соотношения следует, что на резонансной частоте  $\omega_p$  весь участок электрической цепи может быть заменен рези-

стивным элементом с сопротивлением  $r_p = \frac{1}{g(\omega_p)}$ . Подставив вы-

ражение (2.19) для  $\omega_p$  в соотношение (2.18) и выполнив элементарные преобразования, можно получить простую формулу для расчета значения проводимости (или сопротивления) контура в момент резонанса токов:

$$g(\omega_p) = \frac{r_1 + r_2}{r_1 r_2 + \rho^2} \quad \text{или} \quad r_p = \frac{r_1 r_2 + \rho^2}{r_1 + r_2}.$$

Анализ соотношения (2.18) показывает, что условие резонанса  $\text{Im}Y = 0$  выполняется на частоте  $\omega_p$ , а условие минимума  $|Y|$  достигается на частоте  $\omega_m$ , причем в общем случае  $\omega_p \neq \omega_m$ . Поэтому амплитуда тока  $I$  имеет минимум на частоте  $\omega_m$ , а нулевой фазовый сдвиг общего тока относительно приложенного напряжения имеет место на частоте  $\omega_p$ . Этим рассмотренные цепи (рис. 25 и рис. 26) отличаются от простейшего параллельного контура (см. рис. 23), в котором условия  $\text{Im}Y = 0$  и  $\min |Y|$  обеспечиваются при одинаковой частоте  $\omega_0$ .

## 2.2.2. Энергетические соотношения при резонансе токов

Энергетические процессы при резонансе токов в простейшей цепи, схема которой изображена на рис. 22, аналогичны процессам энергообмена в цепи с последовательным соединением  $R - L - C$  элементов при резонансе напряжений.

В режиме резонанса токов для комплексных амплитуд токов индуктивного и емкостного элементов выполняется соотношение  $\dot{I}_L = -\dot{I}_C$ . Это означает, что синусоидальные токи  $i_L(t)$  и  $i_C(t)$  находятся в противофазе (сдвиг фаз составляет  $\pi$ ). Пусть через емкостной элемент протекает синусоидальный ток:  $i_C(t) = I_C \cos(\omega t + \psi)$ . Тогда при резонансе токов через индуктивный элемент протекает ток:  $i_L(t) = I_L \cos(\omega t + \psi - \pi) = -I_C \cos(\omega t + \psi)$ . К параллельным ветвям приложено одинаковое напряжение  $u(t)$  и для мощности в индуктивном и емкостном элементах выполняется:

$$\begin{aligned} p_L + p_C &= u(t) \cdot i_L(t) + u(t) \cdot i_C(t) = u(t)[i_L(t) + i_C(t)] = \\ &= u(t)[-i_C(t) + i_C(t)] = 0. \end{aligned}$$

Пусть приложенное напряжение  $u(t)$  задано:  $u(t) = U \sin(\omega t + \psi)$ . В этом случае токи через емкостной и индуктивный элементы, соответственно, можно записать так:

$$i_C(t) = I_C \sin\left(\omega t + \psi + \frac{\pi}{2}\right) = I_C \cos(\omega t + \psi),$$

$$i_L(t) = I_L \sin\left(\omega t + \psi - \frac{\pi}{2}\right) = -I_L \cos(\omega t + \psi).$$

Мгновенные значения энергии магнитного и электрического поля представим в виде (заметив, что в рассматриваемой цепи  $u_C(t) = u_L(t) = u(t)$ ):

$$W_L(t) = \frac{Li_L^2}{2} = \frac{LI_L^2}{2} \cos^2(\omega t + \psi) = \tag{2.20}$$

$$= W_L \cos^2(\omega t + \psi) = W_L [1 + \cos 2(\omega t + \psi)],$$

$$W_C(t) = \frac{Cu_C^2}{2} = \frac{CU^2}{2} \sin^2(\omega t + \psi) =$$

$$= W_C \sin^2(\omega t + \psi) = W_C [1 - \cos 2(\omega t + \psi)].$$

Выражения, полученные для  $W_L(t)$  и  $W_C(t)$  показывает, что мгновенные значения энергии магнитного и электрического поля изменяются в противофазе. Из соотношения  $p_L + p_C = 0$  ясно, что  $p_L = -p_C$ , а это означает, что

$$\frac{d}{dt}(W_L(t)) = -\frac{d}{dt}(W_C(t)). \tag{2.21}$$

Продифференцировав правые части (2.20) и подставив результат в (2.21) получаем:

$$W_L[-\sin 2(\omega t + \psi)] \cdot 2\omega = -W_C[\sin 2(\omega t + \psi)] \cdot 2\omega.$$

После сокращения получаем:  $W_L = W_C$ . Подобный результат был получен для максимума энергии магнитного поля и электрического поля при рассмотрении резонанса напряжения (см. раздел 2.1.2). Сохраняют свое значение и графики на рис.15, которые иллюстрируют изменение во времени  $W_L(t)$  и  $W_C(t)$  (полное совпадение с представленными графиками достигается, когда начальная фаза  $\psi = 0$ ). Справедливым остается и вывод об энергообмене в режиме

резонанса между индуктивным и емкостным элементами. Таким образом, при резонансе токов переход энергии магнитного поля (из ветви с индуктивным элементом) в энергию электрического поля (в ветви с емкостным элементом) и обратно, осуществляется без энергообмена с источником (энергии), питающим цепь. При этом энергия источника питания расходуется только в резистивной ветви с проводимостью  $g$ .

### 2.2.3. Частотные характеристики параллельного колебательного контура

Комплексную проводимость параллельного колебательного контура (рис. 22) можно представить так:

$$\begin{aligned}
 Y &= g - j\left(\frac{1}{\omega L} - \omega C\right) = g - j\omega_0 C \left(\frac{1}{\omega\omega_0 CL} - \frac{\omega}{\omega_0}\right) = \\
 &= g - j\omega_0 C \left[\frac{\omega_0}{\omega} - \frac{\omega}{\omega_0}\right] = |Y| \cdot e^{-j\varphi}.
 \end{aligned}$$

Полагая, что  $\varphi$  – фазовый сдвиг тока (через весь участок цепи) относительно приложенного напряжения, выражение для фазочастотной характеристики можно записать в следующем виде:

$$\varphi(\omega) = \arctg \frac{\omega_0 C}{g} \left[ \frac{\omega_0}{\omega} - \frac{\omega}{\omega_0} \right].$$

График зависимости  $\varphi(\omega)$  представлен на рис. 27.

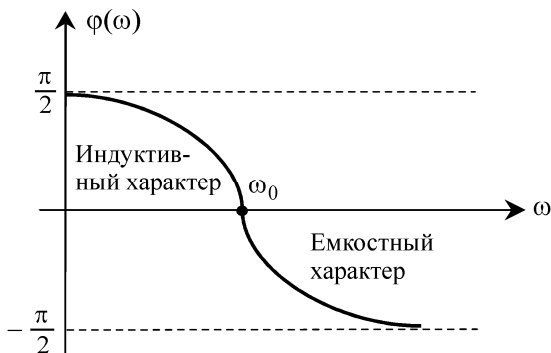


Рис. 27

Очевидно что при резонансной частоте  $\varphi(\omega_0) = 0$ . Для частот  $\omega < \omega_0$  фазовый сдвиг тока относительно напряжения  $\varphi > 0$ , что характерно для цепей, проводимость которых носит индуктивный характер ( $b_L > b_C$ ). Когда частота  $\omega > \omega_0$ , фазовый сдвиг  $\varphi < 0$ , что характерно для цепей с емкостной проводимостью ( $b_L < b_C$ ). График зависимости от частоты реактивной проводимости  $b(\omega)$  изображен на рис. 28.

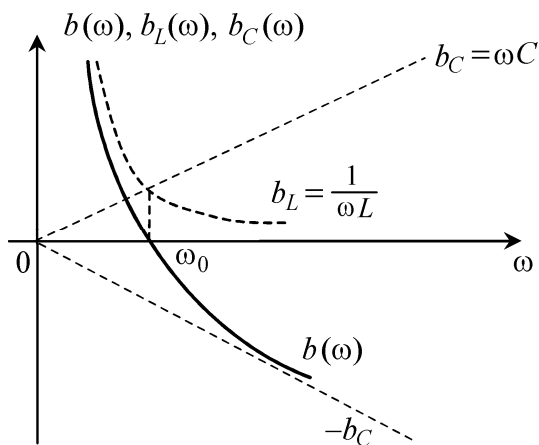


Рис. 28

Амплитуды токов в ветвях параллельного колебательного контура при неизменной амплитуде приложенного напряжения пропорциональны проводимостям ветвей:  $I_g = U \cdot g$ ,  $I_L = \frac{U}{\omega L}$ ,  $I_C = U \cdot \omega C$ . График зависимости амплитуд токов от частоты изображен на рис. 29.

На резонансной частоте  $\omega_0$  проводимость цепи наименьшая – ток так же минимален. Если поддерживать неизменной амплитуду общего тока  $I$ , то получим зависимости напряжения  $U$  (приложенного к контуру) и токов  $I_L$ ,  $I_C$ ,  $I_g$  от частоты (подобно тому, как ранее было сделано для последовательного контура при рассмотрении резонанса напряжений):



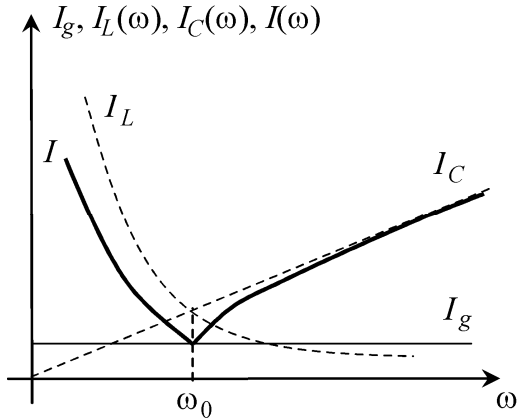


Рис. 29

$$U(\omega) = \frac{I}{\sqrt{g^2 + \left(\frac{1}{\omega L} - \omega C\right)^2}};$$

$$I_L(\omega) = \frac{I \cdot \frac{1}{\omega L}}{\sqrt{g^2 + \left(\frac{1}{\omega L} - \omega C\right)^2}};$$

$$I_C(\omega) = \frac{I \cdot \omega C}{\sqrt{g^2 + \left(\frac{1}{\omega L} - \omega C\right)^2}}.$$

На рис. 30 изображены графики указанных зависимостей.

Кривые на графике (рис. 30) схожи с соответствующими кривыми АЧХ, которые были получены при рассмотрении резонанса напряжений и представлены на рис. 17. Подобный характер соответствующих кривых объясняется аналогией выражений, задающих при резонансах (напряжений и токов) зависимости:  $I(\omega)$  и  $U(\omega)$ ,  $I_L(\omega)$  и  $U_C(\omega)$ ,  $I_C(\omega)$  и  $U_L(\omega)$ .

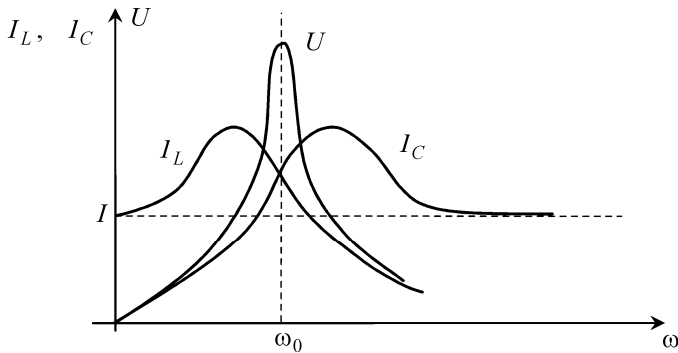


Рис. 30

### Примеры

#### Задача 2.5

Генератор синусоидального напряжения, амплитуда которого  $U = 1,4$  В, подключен к участку электрической цепи (рис. 22), причем:  $r = 50$  Ом,  $L = 0,25$  мГн,  $C = 2,5$  мкФ. Найти резонансную частоту  $\omega_0$ , характеристическое сопротивление  $\rho$  и амплитуды токов  $I_g$ ,  $I_L$  и  $I_C$  в параллельных ветвях.

Решение:

Из условия (2.13) для резонансной частоты контура была получена формула:

$$\omega_0 = \frac{1}{\sqrt{LC}} = \frac{1}{\sqrt{0,25 \cdot 10^{-3} \cdot 2,5 \cdot 10^{-6}}} = 4 \cdot 10^4 \text{ рад/с.}$$

Характеристическое сопротивление контура

$$\rho = \sqrt{\frac{L}{C}} = \sqrt{\frac{0,25 \cdot 10^{-3}}{2,5 \cdot 10^{-6}}} = 10 \text{ Ом.}$$

На резонансной частоте амплитуды токов:

$$I_g = U \cdot \frac{1}{r} = 1,4 \cdot \frac{1}{50} = 0,028 \text{ А} = 28 \text{ мА,}$$

$$I_L = I_C = \frac{U}{\sqrt{\frac{L}{C}}} = 0,14A = 1,4 \cdot 10^2 \text{ мА.}$$

Следует обратить внимание, что при резонансе токов отношение амплитуды тока через индуктивный  $I_L$  (или емкостной  $I_C$ ) элемент к амплитуде тока  $I_g = I$  через резистивный элемент равно отношению сопротивления  $r$  резистивной ветви к характеристическому сопротивлению контура  $\rho$   $\frac{I_L}{I} = \frac{I_C}{I} = \frac{r}{\rho} = 5$ .

### Задача 2.6

К участку электрической цепи (рис. 25) подключен генератор синусоидального напряжения. Найти резонансную частоту  $\omega_p$ , если:  $r_1 = 8$  Ом,  $r_2 = 6$  Ом,  $L = 0,25$  мГн,  $C = 2,5$  мкФ. Сравнить эту частоту с частотой  $\omega_0$ , найденной в предыдущей задаче.

Решение:

В вычислениях учтем, что индуктивность  $L$  и емкость  $C$  параллельных ветвей совпадают с данными из предыдущей задачи. Поэтому воспользуемся найденными значениями  $\omega_0$  и  $\rho$ .

В соответствии с (2.19) резонансная частота рассматриваемого участка цепи:

$$\begin{aligned} \omega_p &= \frac{1}{\sqrt{LC}} \sqrt{\frac{L}{C} - r_1^2} = \omega_0 \sqrt{\frac{\rho^2 - r_1^2}{\rho^2 - r_2^2}} = \omega_0 \sqrt{\frac{100 - 64}{100 - 36}} = \\ &= \frac{3}{4} \omega_0 = \frac{3}{4} \cdot 4 \cdot 10^4 \text{ рад/с} = 3 \cdot 10^4 \text{ рад/с.} \end{aligned}$$

Следует обратить внимание, что  $\omega_p = \frac{3}{4} \omega_0 < \omega_0$ . Это очевидный результат, когда  $r_2 < r_1 < \rho$ . Для случая, когда  $r_1 < r_2 < \rho$  оказалось бы, что  $\omega_p > \omega_0$ .

### Задача 2.7

Для цепи рассмотренной в задаче 2.6, в режиме резонанса токов найти проводимости ветвей  $Y_1 = g_1 - jb_1$  и  $Y_2 = g_2 + jb_2$ . Построить векторные диаграммы токов для случая, когда приложенное напряжение  $u(t) = 1,4 \sin(\omega_p t)$  [В].

Решение:

В соответствии с (2.18) находим проводимости ветви при резонансной частоте  $\omega_p$ :

$$Y_1 = g_1 - jb_1 = \frac{r_1}{r_1^2 + (\omega_p L)^2} - j \frac{\omega_p L}{r_1^2 + (\omega_p L)^2} = \frac{32}{481} - j \frac{30}{481},$$

$$Y_2 = g_2 + jb_2 = \frac{r_2}{r_2^2 + \left(\frac{1}{\omega_p C}\right)^2} + j \frac{\frac{1}{\omega_p C}}{r_2^2 + \left(\frac{1}{\omega_p C}\right)^2} = \frac{27}{962} + j \frac{30}{481}.$$

В режиме резонанса токов проводимость всего участка вещества:

$$Y = Y_1 + Y_2 = g_1 + g_2 = \frac{91}{962} = \frac{7}{74} [\text{Ом}^{-1}].$$

Поэтому общий ток, протекающий через участок, синфазен (не имеет фазового сдвига) приложенному напряжению  $u$ . Это означает, что на векторной диаграмме комплексным амплитудам тока  $\dot{I}$  и напряжения  $\dot{U}$  соответствуют вектора, направленные вдоль одной прямой. Поскольку заданному напряжению  $u(t)$  соответствует  $\dot{U} = 1,4 \cdot e^{j0} = 1,4$ , находим для тока:  $\dot{I} = \dot{U} \cdot Y = 1,4 \frac{7}{74} \approx 132$  мА.

При нахождении комплексных амплитуд токов в первой и второй параллельных ветвях подсчитаем их вещественные и мнимые составляющие:

$$\dot{I}_1 = \dot{U} \cdot Y_1 = 1,4 \left( \frac{32}{481} - j \frac{30}{481} \right) \approx 93 - j87,3 \text{ мА},$$

$$\dot{I}_2 = \dot{U} \cdot Y_2 = 1,4 \left( \frac{27}{962} + j \frac{30}{962} \right) \approx 39 + j87,3 \text{ мА.}$$

На рис. 31 изображена векторная диаграмма токов, причем векторы  $\dot{I}_1$  и  $\dot{I}_2$  представлены как суммы составляющих по вещественной и мнимой оси:  $\dot{I}_1 = \dot{I}_{1A} + \dot{I}_{1p}$ ,  $\dot{I}_2 = \dot{I}_{2A} + \dot{I}_{2p}$ . Составляющие  $\dot{I}_{1A} = 93 \text{ мА}$ ,  $\dot{I}_{2A} = 39 \text{ мА}$  называют активными составляющими. Составляющие  $\dot{I}_{1p} = -j87,3 \text{ мА}$  и  $\dot{I}_{2p} = j87,3 \text{ мА}$  называют реактивными составляющими. Векторная диаграмма наглядно показывает, что в режиме резонанса токов имеют место равенства (для составляющих токов  $\dot{I}_1$  и  $\dot{I}_2$ ):

$$\dot{I}_{1p} = -\dot{I}_{2p},$$

$$\dot{I}_{1A} + \dot{I}_{2A} = \dot{I}.$$

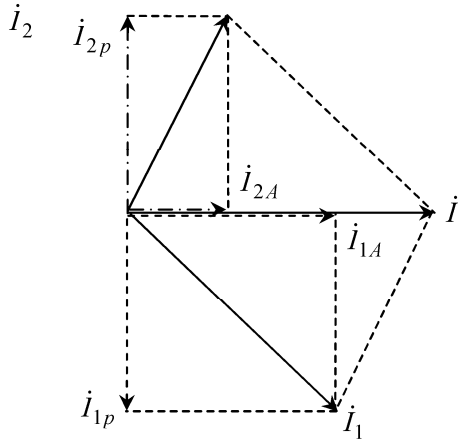


Рис. 31

### Задача 2.8

Участок цепи (рис.26) работает в режиме резонанса токов. Известны амплитуда тока в емкостной ветви  $I_2 = 12 \text{ мА}$  и амплитуда общего тока  $I = 5 \text{ мА}$ . Определить амплитуду тока в индуктивной ветви  $I_1$ .

Решение:

Пусть к участку приложено напряжение  $u(t) = U \sin(\omega_p t)$ , которому соответствует комплексная амплитуда  $\dot{U} = U \cdot e^{j0}$ . Тогда

току  $I_2$  соответствует комплексная амплитуда:  $\dot{I}_2 = \dot{U} \cdot j\omega_p C = U\omega_p C \cdot e^{j\pi/2}$ .

В режиме резонанса токов (как следует из (2.18)) проводимость всего участка вещественна:

$$Y = Y_1 + Y_2 = \frac{r}{r^2 + (\omega_p L)^2} - j \left( \frac{\omega_p L}{r^2 + (\omega_p L)^2} - \omega_p C \right) = \frac{r}{r^2 + (\omega_p L)^2} = g(\omega_p).$$

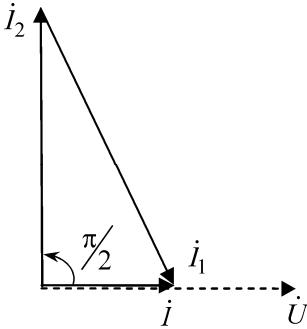


Рис. 32

Поэтому:  $\dot{I} = \dot{U} \cdot Y = \dot{U} \cdot g(\omega_p)$ . Таким образом, вектор  $\dot{I}$  сонаправлен с вектором  $\dot{U}$ , а вектор  $\dot{I}_2$  составляет с вектором  $\dot{U}$  прямой угол. Построим векторную диаграмму, выбрав для вектора  $\dot{U}$  направление, совпадающее с вещественной осью, как указано на рис. 32, отложив в указанных направлениях вектора, длины которых  $|\dot{I}| = I$  и  $|\dot{I}_2| = I_2$  заданы в условии задачи.

Для определения положения вектора  $\dot{I}_1$  воспользуемся первым законом Кирхгофа:  $\dot{I} = \dot{I}_1 + \dot{I}_2$  (расположение вектора  $\dot{I}_1$  теперь очевидно: достаточно вспомнить правило сложения векторов) или  $\dot{I}_1 = \dot{I} - \dot{I}_2$ . Из прямоугольного треугольника находим амплитуду тока в индуктивной ветви:

$$I_1 = |\dot{I}_1| = \sqrt{|\dot{I}|^2 + |\dot{I}_2|^2} = \sqrt{5^2 + 12^2} = 13 \text{ мА}.$$

### 3.1. Законы коммутации

В электрических цепях, которые рассматривались в предыдущих разделах, процессы энергообмена носили установившийся характер, параметры элементов цепи и схема их соединений сохранялись постоянными. На практике во многих электрических цепях происходит подключение или отключение некоторых участков (ветвей) цепи, а параметры элементов цепи могут резко измениться в результате воздействия (управляемого или несанкционированного).

Для моделирования указанных изменений вводится идеализированный элемент – ключ (рис. 33), который в разомкнутом состоянии образует разрыв, а в замкнутом состоянии является идеальным проводником (закороткой). Из разомкнутого состояния в замкнутое (или обратно) идеальный ключ переключается мгновенно. На схемах такой ключ изображается в разомкнутом состоянии, а стрелка рядом с ключом указывает, в какое состояние переходит ключ: стрелка в сторону ветви – ранее разомкнутый ключ замыкается (рис. 33,а), стрелка направленная от ветви, означает, что ключ (ранее замыкавший ветвь) размыкается (рис. 33,б).



Рис. 33

В качестве примера на рис. 34 изображена схема цепи, в которой происходит подключение ветви. На рис. 35 показано, как с помощью ключа моделируется скачкообразное изменение емкости  $C_{аб}$  на участке цепи.

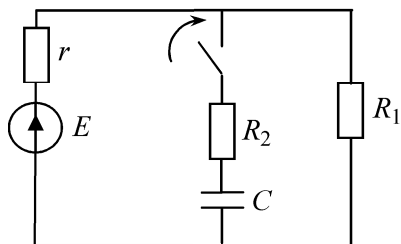


Рис. 34

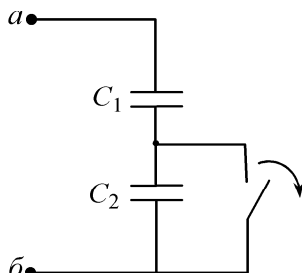


Рис. 35

Первоначально ключ замкнут (и элемент  $C_2$  закорочен), поэтому  $Caб = C_1$ . После размыкания ключа  $Caб = \frac{C_1 \cdot C_2}{C_1 + C_2}$ .

Мгновенное (резкое) переключение, связанное с подключением и/или отключением участков электрической цепи, получило название коммутации. Обычно полагают, что коммутация осуществляется в момент времени  $t_K = 0$ . Из определения понятно, что продолжительность коммутации  $\Delta t_K = 0$ . Считается, что до наступления момента времени  $t_K = 0$ , т.е. при  $t < 0$ , цепь работает в установившемся режиме: схема и параметры элементов постоянны, реакции цепи (токи и напряжения) изменяются (или же не изменяются) в соответствии со стабильными воздействиями, сформированными источниками тока и ЭДС (постоянными, синусоидальными и т.д.). В момент коммутации к электрической цепи подключаются (либо отключаются) ветви (ветвь) с элементами, которые не принимали участия (либо перестают участвовать) в ранее существовавшем в цепи распределении энергии (энергообмене).

Новые подключенные элементы «открывают новые пути» для протекания токов, потребляют энергию, могут накапливать энергию или отдавать (запасенную в них) энергию в цепь. При отключении же элементов разрываются существовавшие пути протекания тока, нарушается ранее сложившееся распределение потоков энергии в ветвях. Однако это перераспределение наступает не мгновенно. Действительно, установившемуся режиму, существовавшему в цепи, соответствует определенное значение энергии,



запасенной в электрическом и магнитном поле, т.е. в емкостных и индуктивных элементах. Если допустить, что в момент коммутации возможен скачкообразный переход от одного установившегося режима к другому (при котором энергия в емкостных и индуктивных элементах распределена иначе), то неизбежно возникновение скачка энергии, которая запасена в реактивных элементах. В этом случае мощность, связанная с энергией соотношением  $p = \frac{dW}{dt}$  принимала бы бесконечно большие значения. Такие значения мощности могли бы обеспечить источники энергии, которые создают бесконечно большие токи и/или напряжения. Однако в реальных электрических цепях (и в моделях таких цепей) существуют источники энергии, способные формировать токи, напряжения и мощности, значения которых конечны.

Таким образом, энергия, запасенная в емкостных и индуктивных элементах, не может измениться скачком, а изменяется непрерывно (и плавно). Поэтому значения энергии в реактивных элементах в последнее мгновение перед коммутацией, т.е. в момент времени  $t = 0 -$  совпадает со значением энергии в первое мгновения после коммутации, т.е. в момент времени  $t = 0 +$  :

$$W_C(0-) = W_C(0+) \quad \rightarrow \quad \frac{CU^2(0-)}{2} = \frac{CU^2(0+)}{2},$$

$$W_L(0-) = W_L(0+) \quad \rightarrow \quad \frac{Li^2(0-)}{2} = \frac{Li^2(0+)}{2}.$$

Из полученных соотношений следуют законы (правила) коммутации:

1. Ток через индуктивный элемент в начальный момент времени после коммутации сохраняет такое же значение, как и непосредственно перед коммутацией:

$$i_L(0+) = i_L(0-).$$

2. Напряжение на емкостном элементе в начальный момент времени после коммутации сохраняет такое же значение, как и непосредственно перед коммутацией:

$$u_C(0+) = u_C(0-).$$

Законы коммутации не накладывают ограничений на характер изменения остальных реакций: токов через емкостные и резистивные элементы, а также токов через источник ЭДС; напряжений на индуктивных и резистивных элементах, а также напряжений на источниках тока. При коммутации эти реакции могут изменяться резко, скачкообразно.

Процесс в цепи, обусловленный коммутацией и состоящий в переходе цепи от одного установившегося состояния (с присущем ему энергораспределением) к другому установившемуся состоянию (с присущем новому состоянию энергораспределением), называют переходным процессом.

Для нахождения неизвестных токов и напряжений на элементах цепи в течение переходного процесса необходимо составить систему уравнений относительно мгновенных значений токов  $i(t)$  и напряжений  $u(t)$ . Эта система уравнений записывается для схемы цепи, которая образовалась после коммутации, а поэтому имеет смысл при  $t \geq 0+$  (поскольку при  $t < 0$  схема цепи была иной). Система уравнений может быть получена на основании законов Кирхгофа или с использованием известных методов расчета (например, метода контурных токов и др.).

В общем случае система уравнений для анализа переходных процессов является интегро-дифференциальной в силу характера соотношений, связывающих ток и напряжение на индуктивных и емкостных элементах:

$$\begin{aligned} u_L = L \frac{di_L}{dt} \quad \text{или} \quad i_L = \frac{1}{L} \int_0^t u_L dt + i_L(0), \\ i_C = C \frac{du_C}{dt} \quad \text{или} \quad u_C = \frac{1}{C} \int_0^t i_C dt + u_C(0). \end{aligned} \tag{3.1}$$

### 3.2. Классический метод анализа переходных процессов

Этот метод основан на классическом алгоритме решения обыкновенных дифференциальных уравнений. Именно такого типа уравнение относительно неизвестного тока (или напряжения) можно получить, продифференцировав необходимое число раз и про-

ведя исключение остальных переменных (кроме искомого тока (напряжения)) в системе уравнений, сформированной для расчета переходных процессов. В общем случае уравнение будет иметь вид (линейного неоднородного дифференциального уравнения ЛНДУ):

$$\alpha_n \frac{d^n x}{dt^n} + \alpha_{n-1} \frac{d^{n-1} x}{dt_{n-1}} + \dots + \alpha_2 \frac{d^2 x}{dt^2} + \alpha_1 \frac{dx}{dt} + \alpha_0 x = f(t).$$

Известно, что общее решение (ОР ЛНДУ) такого уравнения можно представить в виде суммы общего решения линейного однородного дифференциального уравнения (ОР ЛОДУ) (левая часть этого уравнения совпадает с левой частью записанного уравнения, а правая часть равна нулю) и частного решения неоднородного уравнения (ЧР ЛНДУ):

$$x_{\text{ОР ЛНДУ}} = x_{\text{ОР ЛОДУ}} + x_{\text{ЧР ЛНДУ}}. \quad (3.2)$$

Для определения решения  $x_{\text{ОР ЛОДУ}}$  необходимо найти корни характеристического многочлена:

$$\alpha_n \lambda^n + \alpha_{n-1} \lambda^{n-1} + \dots + \alpha_2 \lambda^2 + \alpha_1 \lambda + \alpha_0 = 0. \quad (3.3)$$

Зная корни характеристического многочлена, можно записать решение  $x_{\text{ОР ЛОДУ}}$ . Для случая, когда корни характеристического многочлена некрратные (т.е. различные):

$$x_{\text{ОР ЛОДУ}} = A_1 \cdot e^{\lambda_1 t} + A_2 \cdot e^{\lambda_2 t} + \dots + A_n \cdot e^{\lambda_n t} = \sum_{k=1}^n A_k \cdot e^{\lambda_k t},$$

каждому простому корню  $\lambda_k$  соответствует слагаемое  $A_k \cdot e^{\lambda_k t}$ , где  $A_k$  – постоянная интегрирования, которая определяется из начальных условий.

В реальных электрических цепях не могут возникать бесконечно большие токи и/или напряжения. Поэтому вещественные корни  $\lambda_k$  характеристического многочлена должны быть отрицательны<sup>1</sup>, а

---

<sup>1</sup> Иначе слагаемые вида  $A_k \cdot e^{\lambda_k t}$  при  $t \rightarrow +\infty$  принимают бесконечно большие значения, что неизбежно приводит к бесконечно большим токам и напряжениям.

комплексные корни  $\lambda = \alpha + j\beta$  должны иметь отрицательную действительную часть.

В качестве частного решения  $x_{\text{чр ЛНДУ}}$  наиболее удобно выбрать такое решение, которое соответствует времени  $t \rightarrow +\infty$ . Действительно, к выбранному моменту времени переходной процесс закончится и цепь перейдет в новый установившейся режим. В этом режиме реакции цепи, в том числе и реакция  $x_{\text{чр ЛНДУ}}$ , будет определяться характером существующих воздействий, которые задаются источником (токов и ЭДС), имеющимися в цепи. Источники (токов и ЭДС), которые формируют постоянные или синусоидальные воздействия, порождают, соответственно, постоянные или синусоидальные реакции (токи и напряжения). Для нахождения токов и напряжений в цепях постоянного или переменного синусоидального тока не потребуется решать дифференциальное уравнение, так как оно вырождается и переходит в алгебраическое уравнение. Это обстоятельство побуждает выбирать частное решение  $x_{\text{чр ЛНДУ}}$  при  $t \rightarrow +\infty$ .

Рассмотрим применение классического метода анализа переходных процессов для расчета тока  $i(t)$  в цепи, схема которой изображена на рис. 36.

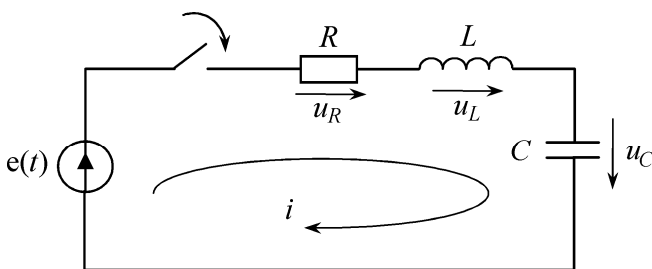


Рис. 36

В этой цепи источник ЭДС подключается к нагрузке в виде последовательно соединенных резистивного, индуктивного и емкостного элементов (будем считать, что напряжение на емкостном элементе до коммутации  $u_C(0-) = 0$ ).

После замыкания ключа, в соответствии со вторым законом Кирхгофа:

$$u_R + u_L + u_C = e(t) .$$

Выразив напряжение  $u_R$ ,  $u_L$  и  $u_C$  через ток  $i$  (используя закон Ома и соотношения (3.1)), получим:

$$R \cdot i + L \frac{di}{dt} + \frac{1}{C} \int_0^t i dt = e(t) . \quad (3.4)$$

Это уравнение справедливо при любом  $t \geq 0+$ . Обозначим ток, который установится в контуре при  $t \rightarrow +\infty$ , т.е. после окончания переходного процесса  $i_{уст}$ . Формально этот ток можно найти из уравнения (3.4) в соответствии с (3.2). Но после окончания переходного процесса само уравнение при постоянной или синусоидальной ЭДС  $e(t)$  “потеряет” интегро-дифференциальный характер и станет алгебраическим, что позволит более просто найти ток  $i_{уст}$ . Если ток  $i_{уст}$  найден, то уравнение (3.4) обращается в верное равенство:

$$R \cdot i_{уст} + L \frac{di_{св}}{dt} + \frac{1}{C} \int_0^t i_{св} dt \equiv e(t) .$$

Вычтем из уравнения (3.4) полученное уравнение:

$$R(i - i_{уст}) + L \frac{d(i - i_{уст})}{dt} + \frac{1}{C} \int_0^t (i - i_{уст}) dt = 0 .$$

Обозначим разность  $(i - i_{уст}) = i_{св}$ . Так называемый ток свободной составляющей  $i_{св}$  можно рассматривать как ток, существующий в цепи только во время переходного процесса, поскольку из тока  $i$  “удалена” составляющая  $i_{уст}$ , характеризующая ток в установившемся режиме. Для свободной составляющей  $i_{св}$  получено уравнение:

$$R \cdot i_{\text{CB}} + L \frac{di_{\text{CB}}}{dt} + \frac{1}{C} \int_0^t i_{\text{CB}} dt = 0,$$

которое после дифференцирования дает однородное дифференциальное уравнение:

$$\frac{d^2 i_{\text{CB}}}{dt^2} + \frac{R}{L} \cdot \frac{di_{\text{CB}}}{dt} + \frac{1}{LC} i_{\text{CB}} = 0.$$

Находим корни характеристического уравнения:

$$\lambda^2 + \frac{R}{L} \lambda + \frac{1}{LC} = 0,$$

$$\lambda_{1,2} = -\frac{R}{2L} \pm \sqrt{\frac{R^2}{4L^2} - \frac{1}{LC}}.$$

Если корни  $\lambda_1$  и  $\lambda_2$  различны, то:

$$i_{\text{CB}} = A_1 \cdot e^{\lambda_1 t} + A_2 \cdot e^{\lambda_2 t},$$

где  $A_1$  и  $A_2$  – постоянные, которые определяются из начальных условий.

Теперь искомый ток можно представить в виде:

$$i(t) = A_1 \cdot e^{\lambda_1 t} + A_2 \cdot e^{\lambda_2 t} + i_{\text{уст}}.$$

Для нахождения составляющей  $i_{\text{уст}}$  достаточно провести расчет цепи (рис. 37) в установившемся режиме.

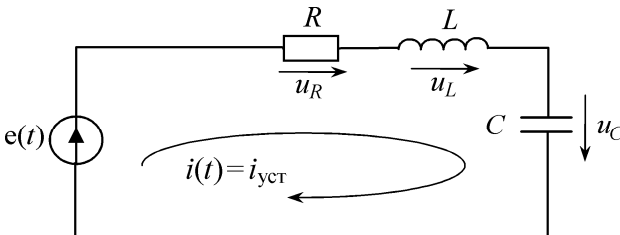


Рис. 37

После окончания переходного процесса  $i(t) = i_{уст}$  (так как  $i_{св}(t) = 0$  при  $t \rightarrow +\infty$ ) и эта реакция определяется характером ЭДС  $e(t)$ . Если ЭДС постоянна, то и ток  $i_{уст}$  должен быть постоянным. Известно, что постоянный ток не может протекать через емкостной элемент. Поэтому при  $e(t) = E = \text{const}$ , ток  $i_{уст} = 0$  (нулевой ток – частный случай постоянного тока). Если ЭДС синусоидальная  $e(t) = E \cdot \sin \omega t$ , то и ток  $i_{уст}$  будет синусоидальным:

$$\dot{i}_{уст} = \frac{\dot{E}}{\sqrt{R^2 + \left(\omega L - \frac{1}{\omega C}\right)^2}} e^{-j \arctg \varphi},$$

$$i(t) = \frac{E}{\sqrt{R^2 + \left(\omega L - \frac{1}{\omega C}\right)^2}} \sin(\omega t - \varphi),$$

где  $\varphi = \arctg \frac{\left(\omega L - \frac{1}{\omega C}\right)}{R}$ .

Подведем промежуточные итоги, которые следуют из применения классического метода (к расчету переходного процесса в рассмотренном примере в равной степени, как и к множеству других задач).

1. Свободную составляющую искомой реакции ( $i_{св}$ ) определяют корни характеристического многочлена, а постоянные интегрирования в свободной составляющей могут быть определены из начальных условий (см. раздел «Виды начальных условий и определение порядка цепи»). Поэтому для нахождения реакции  $i(t)$  (или других токов и/или напряжений) нет необходимости формировать систему интегро-дифференциальных уравнений и получать из нее линейное неоднородное дифференциальное уравнение относительно искомой реакции.

2. Установившаяся составляющая реакции ( $i_{уст}$ ) определяется после окончания переходного процесса, когда цепь работает в новом установившемся режиме. Если источники ЭДС и тока форми-

руют в этом режиме постоянные или синусоидальные воздействия, то для нахождения установившейся составляющей не требуется искать частное решение неоднородного дифференциального уравнения, так как при указанном характере воздействий оно заменяется алгебраическим.

### 3.3. Виды начальных условий и определение порядка цепи

Число постоянных интегрирования в выражении, задающем вид искомой реакции (тока или напряжения), совпадает с порядком характеристического многочлена (соответствующего линейного однородного дифференциального уравнения). Эти постоянные интегрирования необходимо найти из начальных условий – значений токов и напряжений в момент коммутации, вернее в начальный момент после коммутации т.е. при  $t = 0+$ . Из всех токов и напряжений, существовавших в цепи к моменту коммутации (т.е. при  $t = 0-$ ), лишь для токов через индуктивные элементы и для напряжений на емкостных элементах можно (на основании законов коммутации) непосредственно указать значения токов и напряжений в начальный момент после коммутации (т.е. при  $t = 0+$ ):  $u_C(0+) = u_C(0-)$  и  $i_L(0+) = i_L(0-)$ . Совокупность значений токов  $i_L$  и напряжений  $u_C$  в момент времени ( $t = 0+$ ) после коммутации называют независимыми начальными условиями, поскольку они определяются энергетическим состоянием цепи только в момент времени, непосредственно предшествующий коммутации и не зависят от характера процессов, имевших место в цепи до коммутации (при  $t < 0$ ), и от значений токов и напряжений на других элементах в момент коммутации.

Независимые начальные условия подразделяют на нулевые начальные условия, которые реализуются в цепи, если запасенная в цепи энергия в момент времени, непосредственно предшествующем коммутации, равна нулю, и ненулевые начальные условия, которые возникают в цепи, если в момент времени  $t = 0$ , запасенная энергия в цепи отлична от нуля. В первом случае все независимые начальные условия равны нулю:



$$\begin{cases} W_L(0-) = 0 \\ W_C(0-) = 0 \end{cases} \rightarrow \begin{cases} i_L(0-) = 0 = i_L(0+); \\ u_C(0-) = 0 = u_C(0+). \end{cases}$$

Во втором случае хотя бы одно из независимых начальных условий отлично от нуля:  $i_L(0+) \neq 0$  и/или  $u_C(0+) \neq 0$ .

После того, как с помощью законов коммутации определены независимые начальные условия, могут быть найдены начальные значения токов и напряжений на остальных элементах. Эти начальные значения называют зависимыми начальными условиями (поскольку для их определения требуется предварительно найти независимые начальные условия, и с помощью различных электротехнических методов (уравнений и соотношений) выразить зависимые начальные условия через независимые начальные условия и известные значения токов источников токов и напряжений на источниках ЭДС).

### Примеры

#### Задача 3.1

В цепи, схема которой изображена на рис. 38, определить значение тока  $i_L(0+)$  через индуктивный элемент и напряжения  $u_L(0+)$  на этом элементе в момент коммутации.

Решение:

Поскольку до замыкания ключа ток в цепи не протекает, очевидно, что  $i_L(0-) = 0$ . В момент коммутации в соответствии с законом коммутации для тока через индуктивный элемент выполняется соотношение:

$$i_L(0+) = i_L(0-) = 0.$$

Изобразим схему цепи в начальный момент времени  $t = 0+$  после коммутации. На схеме (рис. 39) вместо индуктивного элемента указан разрыв ветви, поскольку только разрыв гарантирует отсутствие

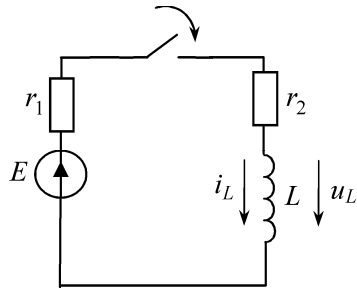


Рис. 38

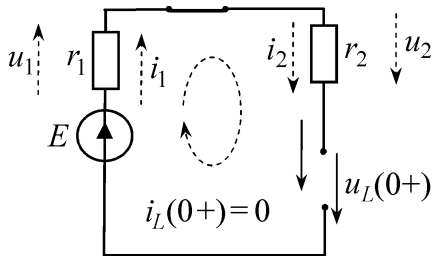


Рис. 39

тока между узлами, с которыми соединен индуктивный элемент, и обеспечивает выполнение условия  $i_L(0+) = 0$ .

Таким образом, индуктивный элемент, через который не протекал ток в момент предшествующий коммутации, эквивалентен разрыву в начальный момент после коммутации<sup>1</sup>.

Для нахождения напряжения  $u_L(0+)$  воспользуемся вторым законом Кирхгофа (обход контура указан на рис. 39 пунктиром):

$$u_1(0+) + u_2(0+) + u_L(0+) = E$$

или 
$$i_1(0+) \cdot r_1 + i_2(0+) \cdot r_2 + u_L(0+) = E.$$

Ток в контуре (с разрывом) не протекает, очевидно, для элементов  $r_1$ ,  $r_2$  и  $L$ , соединенных последовательно  $i_1(0+) = i_2(0+) = i_L(0+) = 0$ . Поэтому получаем:

$$0 + 0 + u_L(0+) = E.$$

В отличие от тока через индуктивный элемент напряжение  $u_L(0+)$  в момент коммутации изменилось скачком (от значения 0 при  $t \leq 0-$  до значения  $E$  в момент  $t = 0+$ ).

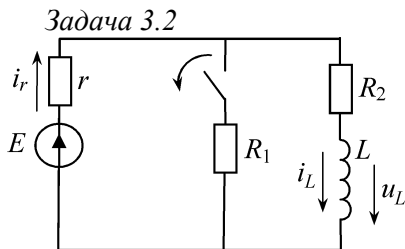


Рис. 40

В цепи, схема которой изображена на рис. 40, найти значения токов  $i_L(0+)$  и  $u_r(0+)$  в момент коммутации. Считать, что  $R_1 = R_2 = 2r$ .

<sup>1</sup> Это правило выполняется в течение одного мгновения, но этого достаточно для определения начальных условий

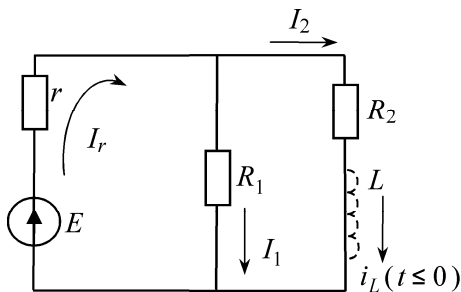


Рис. 41

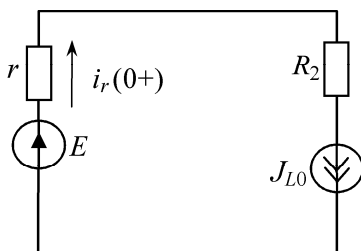


Рис. 42

Решение:

До коммутации ключ был замкнут и для всех моментов времени  $t \leq 0$  – реакции в цепи порождались постоянным воздействием – источником ЭДС, а потому эти реакции были постоянными. Для постоянного тока индуктивный элемент является “закороткой” (так как не оказывает сопротивления постоянному току), что учтено в схеме цепи до коммутации (рис. 41).

Поскольку  $R_1 = R_2$ , то  $I_1 = I_2 = \frac{1}{2} I_r$ , причем:

$$I_r = \frac{E}{r + R_1 \parallel R_2} = \frac{E}{r + r} = \frac{E}{2r}.$$

Ток через индуктивный элемент в момент времени  $t = 0+$  согласно закону коммутации равен:

$$i_L(0+) = i_L(0-) = I_2 = \frac{1}{2} I_r = \frac{E}{4r}.$$

В схеме цепи (рис. 42) в начальный момент времени ( $t = 0+$ ) после коммутации учтено, что лишь источник тока  $J_{L0} = \frac{E}{4r}$  гарантирует протекание в ветви, содержащей индуктивный элемент, тока  $i_L(0+)$ .

**Таким образом, индуктивный элемент, через который протекает ток в момент предшествующий коммутации, эквивалентен источнику тока в начальный момент после коммутации.**

После размыкания ключа цепь состоит из одного контура, поэтому ток  $i_r(0+)$  в момент  $t = 0+$  должен совпадать с током  $J_{L0}$  источника тока:

$$i_r(0+) = J_{L0} = i_L(0+) = \frac{E}{4r}.$$

В отличие от тока через индуктивный элемент ток  $i_r$  в момент коммутации изменяется скачком от значения  $i_r(0-) = \frac{E}{2r}$  до значения  $i_r(0+) = \frac{E}{4r}$ .

### Задача 3.3

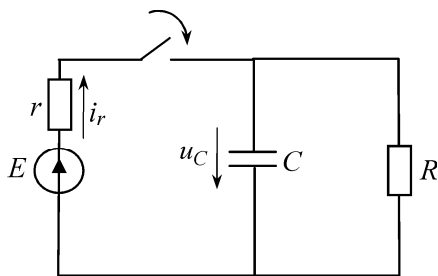


Рис. 43

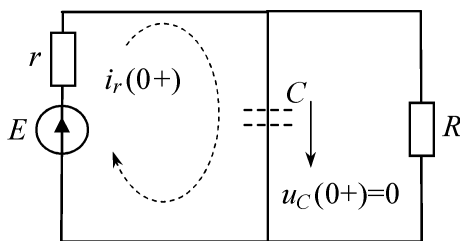


Рис. 44

В цепи, схема которой изображена на рис. 43, найти значения напряжения  $u_C(0+)$  на емкостном элементе и тока  $i_r(0+)$  в момент коммутации.

Решение:

До замыкания ключа напряжение на емкостном элементе равно нулю<sup>1</sup> и в соответствии с законом коммутации:

$$u_C(0+) = u_C(0-) = 0.$$

На рис. 44 изображена схема цепи в начальный момент ( $t = 0+$ ) после коммутации.

<sup>1</sup> Действительно, если предположить, что напряжение на емкостном элементе в некоторый момент времени ( $t < 0$ ) было отлично от нуля, то к моменту коммутации ( $t = 0$ ) емкостной элемент разрядится через резистивный элемент  $R$ .

Поскольку  $u_C(0+) = 0$ , узлы, между которыми подключен емкостной элемент, соединены “закороткой”, гарантирующей нулевую разность потенциалов между этими узлами.

**Таким образом, емкостной элемент, напряжение на котором в момент, предшествующий коммутации, равно нулю, эквивалентен закороченной ветви.**

В момент  $t = 0+$  ток  $i_r(0+)$  протекает так, как указано пунктиром на рис. 44, и его значение:

$$i_r(0+) = \frac{E}{r}.$$

Очевидно, что этот ток при коммутации изменился скачком, т.к. до замыкания ключа  $i_r(t \leq 0-) = 0$ .

### Задача 3.4

В цепи, схема которой изображена на рис. 45, найти значения напряжения  $u_C(0+)$  на емкостном элементе. Сравнить значения тока  $i_r$  до и после размыкания ключа.

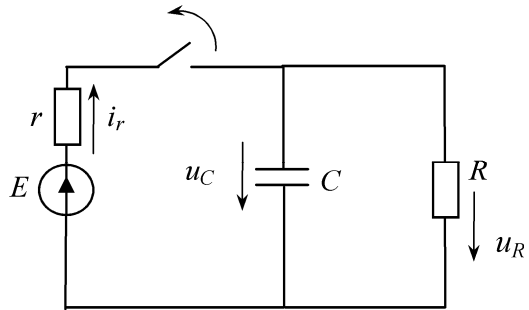


Рис. 45

Решение:

До размыкания ключа имеем цепь постоянного тока: воздействие источника постоянной ЭДС порождает в цепи только постоянные токи и напряжения на ее элементах. Постоянный ток через емкостной элемент не протекает  $I_C = 0$ . Ток протекает лишь по внешнему контуру (по ветвям с элементами  $E - r - R - E$ ):

$$I = \frac{E}{r + R}.$$

В результате напряжение на резистивном элементе  $R$  составляет:

$$U_R = I \cdot R = \frac{E \cdot R}{r + R}.$$

Таким же до коммутации будет напряжение на емкостном элементе (соединенном параллельно с  $R$ ):

$$u_C(t \leq 0-) = U_R = \frac{E \cdot R}{r + R}.$$

По закону коммутации для напряжения на емкостном элементе:

$$u_C(0+) = u_C(0-) = \frac{E \cdot R}{r + R}. \quad (3.5)$$

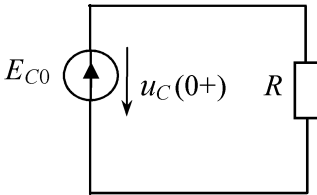


Рис. 46

На рис. 46 изображена схема цепи в начальный момент ( $t = 0+$ ) после коммутации.

В этот момент между узлами, с которыми соединен емкостной элемент, должно быть напряжение  $u_C(0+) = u_C(0-)$ . Заданное напряжение обеспечивает при  $t = 0+$  источник

ЭДС  $E_{C0} = \frac{E \cdot R}{r + R}$ . Заметим, что «стрелка» источника направлена противоположно «стрелке» напряжения<sup>1</sup>.

**Таким образом, емкостной элемент, напряжение на котором в момент, предшествующий коммутации, отлично от нуля, эквивалентен источнику ЭДС.**

Через резистивный элемент  $r$  до размыкания ключа протекал ток:

$$i_r(t \leq 0-) = I = \frac{E}{r + R}.$$

После коммутации ток через этот элемент не протекает  $i_r(t \geq 0+) = 0$ . Значит, в момент коммутации ток  $i_r$  изменился скачком (в отличие от напряжения  $u_C$ ).

---

<sup>1</sup> «Стрелка» источника ЭДС направлена в сторону узла с более высоким потенциалом, а стрелка напряжения (выбранная в условии) направлена в сторону убывания потенциала.

Таким образом, рассмотренные примеры продемонстрировали следующее:

1. Независимые начальные условия определяются непосредственно из законов коммутации путем нахождения значений  $i_L(0-)$  и  $u_C(0-)$  в момент времени предшествующий коммутации.

2. Зависимые начальные условия находятся после определения независимых начальных условий. Для нахождения зависимых начальных условий удобно использовать схему цепи в момент коммутации  $t = 0+$  при этом:

- индуктивный элемент, через который в момент времени  $t = 0-$  протекал ток  $i_L(0-)$ , следует заменить на эквивалентный источник тока  $J_{L0} = i_L(0+) = i_L(0-)$ , а индуктивный элемент, ток через который в момент времени  $t = 0-$  равен нулю, заменить на разрыв;

- емкостной элемент, напряжение на котором в момент времени  $t = 0_-$  равно  $u_C(0_-)$ , следует заменить на эквивалентный источник ЭДС  $E_{C0} = u_C(0_+) = u_C(0_-)$ ; а емкостной элемент, напряжение на котором отсутствует при  $t = 0-$ , заменить на закоротку;

- указанные операции позволяют найти зависимые начальные условия, применив законы Кирхгофа и/или другие известные методы для расчета цепи, модель которой получена для момента коммутации  $t = 0+$ .

Пусть цепь после коммутации содержит  $n_L$  индуктивных элементов и  $n_C$  емкостных элементов. Тогда в систему уравнений для расчета переходных процессов входят  $(n_L + n_C)$  дифференциальных соотношений вида:

$$i_L - L \frac{di_L}{dt} = 0 \quad \text{и/или} \quad i_C - C \frac{du_C}{dt} = 0.$$

Преобразовывая систему уравнений в дифференциальное уравнение относительно одной из реакций, получим дифференциальное уравнение, порядок которого равен  $(n_L + n_C)$ .

В решении дифференциального уравнения будет содержаться  $(n_L + n_C)$  постоянных интегрирования, значения которых определяются из  $(n_L + n_C)$  независимых условий.

Под порядком электрической цепи понимают порядок дифференциального уравнения, которое позволяет определить реакции во время переходного процесса. Этот порядок связан с числом индуктивных  $n_L$  и емкостных  $n_C$  элементов в цепи.

В некоторых случаях порядок цепи и число независимых начальных условий оказывается меньше значения  $(n_L + n_C)$ . На рис. 47 и рис. 48 изображены схемы участков цепей, содержащих так называемые индуктивные звезды (или сечения); образованные элементами  $L_1$ ,  $L_2$  и  $L_3$  и емкостные контуры, образованные элементами  $C_1$ ,  $C_2$  и  $C_3$ .



Рис. 47

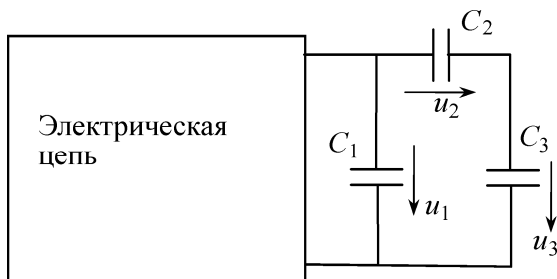


Рис. 48

Для токов через индуктивные элементы, которые имеют общий узел, выполняется первый закон Кирхгофа:

$$i_1 + i_2 + i_3 = 0 \quad \text{или} \quad i_3 = -i_1 - i_2.$$



Ток  $i_3$  (линейно) зависит от токов  $i_1$  и  $i_2$ , в начальный момент ток через индуктивный элемент  $L_3$  имеет вид:

$$i_3(0+) = -i_1(0+) - i_2(0+).$$

Поэтому начальное условие для тока  $i_3$  нельзя считать независимым. В общем случае, когда цепь содержит несколько, например  $n_3$ , индуктивных звезд (или сечений), число независимых начальных условий для токов через индуктивные элементы составляет  $n_L - n_3$ .

Для напряжений на емкостных элементах, образующих контур, выполняется второй закон Кирхгофа:  $u_1 - u_2 - u_3 = 0$  или  $u_1 = u_2 + u_3$ . Поскольку напряжение  $u_1$  (линейно) зависит от напряжений  $u_2$  и  $u_3$ , в начальный момент напряжение на емкостном элементе  $C_1$  имеет вид:  $u_1(0+) = u_2(0+) + u_3(0+)$ . Значит, это начальное условие не может считаться независимым. Если цепь содержит  $n_k$  емкостных контуров, то число независимых начальных условий для напряжений на емкостных элементах составляет  $n_C - n_k$ .

В самом общем случае, когда цепь содержит как индуктивные звезды (сечения), так и емкостные контуры, порядок цепи совпадает с числом независимых начальных условий и составляет:  $(n_L + n_C) - (n_3 + n_k)$ .

### 3.4. Характеристическое уравнение цепи (анализ модели цепи в свободном режиме)

Для того, чтобы определить свободную составляющую реакции, т.е. получить общее решение однородного дифференциального уравнения, необходимо найти в соответствии с (3.3) корни характеристического многочлена, который обозначим:  $P_n(\lambda) = \alpha_n \lambda^n + \alpha_{n-1} \lambda^{n-1} + \dots + \alpha_2 \lambda^2 + \alpha_1 \lambda^1 + \alpha_0$ . В тех редких случаях, когда можно, минуя цепочку предварительных преобразований, непо-

средственно записать дифференциальное уравнение относительно искомой реакции, корни характеристического многочлена получают из уравнения:  $P_n(\lambda) = 0$ , которое называют характеристическим уравнением цепи. В общем случае для получения дифференциального уравнения относительно искомой реакции требуются преобразования в системе интегро-дифференциальных уравнений (о которых упоминалось в разделе «Классический метод анализа переходных процессов»). Это означает, что характеристическое уравнение может быть получено только после совершения двух предварительных операций:

- 1) формирования системы уравнений для расчета переходных процессов;
- 2) преобразования системы уравнений в уравнение относительно искомой реакции.

Указанные операции могут оказаться достаточно трудоемкими (и по сути малопродуктивными и малоинформативными для целей анализа переходных процессов). Поэтому рассмотрим иной способ получения характеристического уравнения.

Любой корень  $\lambda$  характеристического многочлена обращает характеристическое уравнение  $P_n(\lambda) = 0$  в верное равенство. Пусть этому корню соответствует слагаемое  $A \cdot e^{\lambda t}$ , входящее в свободную составляющую некоторой реакции. Тогда для слагаемого  $A \cdot e^{\lambda t}$  в верное равенство должно превращаться однородное дифференциальное уравнение, полученное для этой реакции. Поскольку корни характеристического многочлена являются общими для всех свободных реакций, то при корне  $\lambda$  в каждой из свободных составляющих имеется слагаемое  $A_k \cdot e^{\lambda t}$  (где:  $k = 1, \dots, N$  – число реакций). Это означает, что система интегро-дифференциальных уравнений, обращается в систему верных равенств при подстановке слагаемых  $A_k \cdot e^{\lambda t}$  (вместо соответствующих реакций). Система уравнений, соответствующая однородным уравнениям, может быть получена заменой воздействий, которые содержатся в правых частях уравнений системы, на нули. Действительно, именно из системы уравнений с правой частью равной нулю можно получить однородное дифференциальное уравнение для каждой из реакций.

Системе уравнений с правой частью, равной нулю соответствует модель электрической цепи, в которой источники ЭДС формируют ЭДС  $e(t) = 0$ , а источники тока задают нулевые токи  $J(t) = 0$ . Очевидно, что такие источники ЭДС эквивалентны замкренному участку, а источники тока – разрыву ветви (рис. 49).

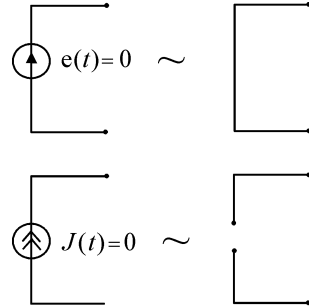


Рис. 49

Рассмотрим какова связь между током и напряжением в свободном режиме на емкостном и индуктивном элементах. Пусть свободная составляющая тока через элемент  $i_{cb} = A \cdot e^{\lambda t}$ , тогда для емкостного элемента:

$$u_{C_{cb}} = \frac{1}{C} \int i_{cb} dt = \frac{1}{\lambda C} A e^{\lambda t} = \frac{1}{\lambda C} i_{cb},$$

для индуктивного элемента:

$$u_{L_{cb}} = L \frac{di_{cb}}{dt} = \lambda L \cdot A \cdot e^{\lambda t} = \lambda L i_{cb}.$$

Полученные соотношения означают, что в свободном режиме емкостной и индуктивный элемент могут быть заменены элементами, «сопротивление» которых соответственно  $\frac{1}{\lambda C}$  и  $\lambda L$ <sup>1</sup>. Для резистивного элемента связь между свободными составляющими тока и напряжения обусловлена законом Ома:  $u_{R_{cb}} = R \cdot i_{cb}$ .

---

<sup>1</sup> Подобная ситуация уже встречалась при рассмотрении метода комплексных амплитуд, в котором емкостной и индуктивный элементы в цепях синусоидального тока характеризовались, соответственно, комплексным емкостным сопротивлением  $\frac{1}{j\omega C}$  и комплексным индуктивным сопротивлением  $j\omega L$ .

Таким образом, для получения схемы, соответствующей свободному режиму в цепи необходимо:

1) заменить источники ЭДС и тока, соответственно, на закороченные участки и разрывы;

2) заменить индуктивные и емкостные элементы на элементы с условным «сопротивлением», соответственно,  $\lambda L$  и  $\frac{1}{\lambda C}$ .

Указанные преобразования схемы цепи изображены на рис. 50.

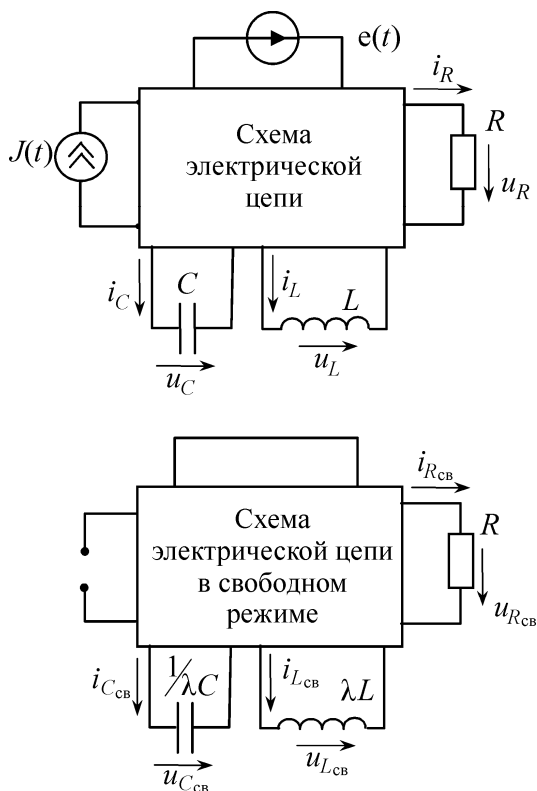


Рис. 50

Для получения характеристического уравнения достаточно составить схему цепи в свободном режиме, сформировать систему

уравнений, в которую входят свободные составляющие реакций, и приравнять нулю определитель этой системы. Действительно, система уравнений, соответствующая схеме свободного режима, имеет правую часть равную нулю. В такой системе уравнений ненулевые решения (т.е. свободные составляющие реакций – токи и напряжения) могут получиться лишь в том случае, когда определитель системы равен нулю.

Для любого контура цепи в свободном режиме алгебраическая сумма напряжений на элементах контура равна нулю. Поэтому для  $k$ -го контура справедливо уравнение:

$$\sum_{l=1}^m u_{kl\text{св}}(t) = 0 \quad \text{или} \quad \sum_{l=1}^m z_{kl}(\lambda) \cdot i_{kl\text{св}}(t) = 0,$$

где  $m$  – число элементов в контуре;  $i_{kl\text{св}}(t)$  – свободная составляющая тока через элемент  $l$ -й ветви  $k$ -го контура;  $z_{kl}(\lambda)$  – сопротивление элементов, входящих в контур, которое может принимать значение  $R$ ,  $\frac{1}{\lambda C}$  или  $\lambda L$ , причем:  $u_{kl\text{св}}(t) = z_{kl}(\lambda) \cdot i_{kl\text{св}}(t)$ .

Можно получить аналогичное соотношение и для свободной составляющей тока в ветви полагая, что контур образован самой ветвью и остальной частью цепи, которую можно рассматривать, как один сложный элемент, образованный, входящей в него совокупностью элементов (рис.51).

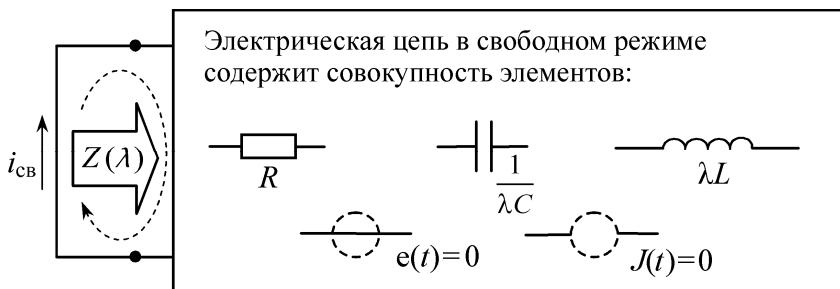


Рис. 51

Обойдя контур, указанный на рис. 51 пунктиром, получим:

$$Z(\lambda) \cdot i_{\text{св}} = 0, \quad (3.6)$$

где  $Z(\lambda)$  – сопротивление цепи в свободном режиме относительно обозначенных точками узлов.

Для любого узла цепи в свободном режиме алгебраическая сумма токов (втекающих и вытекающих) равна нулю. Поэтому для  $k$ -го узла справедливо:

$$\sum_{l=1}^m i_{kl\text{св}}(t) = 0 \quad \text{или} \quad \sum_{l=1}^m y_{kl}(\lambda) \cdot u_{kl\text{св}}(t) = 0,$$

где  $m$  – число ветвей, подходящих к узлу;  $i_{kl\text{св}}(t)$  – свободные составляющие токов в этих ветвях;  $u_{kl\text{св}}(t)$  – свободные составляющие напряжений между  $k$ -м и остальными узлами цепи;  $y_{kl}(\lambda)$  – проводимость ветвей, соединенных с узлом, которая может принимать значения  $\frac{1}{R}$ ,  $\lambda C$  или  $\frac{1}{\lambda L}$ , причем:  $i_{kl\text{св}}(t) = y_{kl}(\lambda) \cdot u_{kl\text{св}}(t)$ .

Свободную составляющую  $u_{\text{св}}$  напряжения на элементе цепи можно рассматривать как напряжение между узлами, с которыми соединен элемент, полагая что эти два узла соединены единой ветвью, которую можно рассматривать как один сложный элемент (рис.52), образованный всей совокупностью элементов цепи, тогда:

$$Y(\lambda) \cdot u_{\text{св}} = 0, \quad (3.7)$$

где  $Y(\lambda)$  – проводимость цепи в свободном режиме, записанная относительно указанных на рис. 52 узлов.



Рис. 52

Подставим в однородное дифференциальное уравнение относительно искомой реакции одно из слагаемых, входящих в выражение, которое образует общее решение этого уравнения. Например, для тока  $i_{\text{CB}} = A \cdot e^{\lambda t}$ , где  $\lambda$  – один из корней характеристического многочлена  $P_n(\lambda)$ , получим:

$$\alpha_n \frac{d^n i_{\text{CB}}}{dt^n} + \alpha_{n-1} \frac{d^{n-1} i_{\text{CB}}}{dt^{n-1}} + \dots + \alpha_2 \frac{d^2 i_{\text{CB}}}{dt^2} + \alpha_1 \frac{di_{\text{CB}}}{dt} + \alpha_0 \cdot i_{\text{CB}} = 0,$$

$$\alpha_n \frac{d^n (Ae^{\lambda t})}{dt^n} + \alpha_{n-1} \frac{d^{n-1} (Ae^{\lambda t})}{dt^{n-1}} + \dots + \alpha_2 \frac{d^2 (Ae^{\lambda t})}{dt^2} +$$

$$+ \alpha_1 \frac{d(Ae^{\lambda t})}{dt} + \alpha_0 (Ae^{\lambda t}) = 0,$$

$$\alpha_n A \lambda^n e^{\lambda t} + \alpha_{n-1} A \lambda^{n-1} e^{\lambda t} + \dots + \alpha_2 A \lambda^2 e^{\lambda t} + \alpha_1 A \lambda e^{\lambda t} + \alpha_0 A e^{\lambda t} = 0,$$

$$P_n(\lambda) \cdot i_{\text{CB}} = 0.$$

Сравнив полученное соотношение с (3.6) и учитывая, что  $i_{\text{CB}} \neq 0$  в течение переходного процесса, приходим к выводу, что

$$P_n(\lambda) = Z(\lambda)$$

и характеристическим уравнением цепи можно считать соотношение  $Z(\lambda) = 0$ .

Для свободной реакции в виде напряжения аналогичным образом получаем:

$$P_n(\lambda) \cdot u_{\text{CB}} = 0,$$

и сравнив с (3.7) получаем характеристическое уравнение цепи в виде:  $Y(\lambda) = 0$ . Таким образом, характеристическое уравнение цепи можно получить из схемы цепи в свободном режиме. Для искомой свободной реакции тока (или напряжения) достаточно составить выражение для подсчета сопротивления  $Z(\lambda)$  (проводимости  $Y(\lambda)$ ) относительно указанных на рис. 51 (рис. 52) узлов и найти корни характеристического уравнения в виде  $Z(\lambda) = 0$  (или  $Y(\lambda) = 0$ ).

### Задача 3.5

Определить порядок цепи и характеристическое уравнение цепи, схема которой изображена на рис. 53.

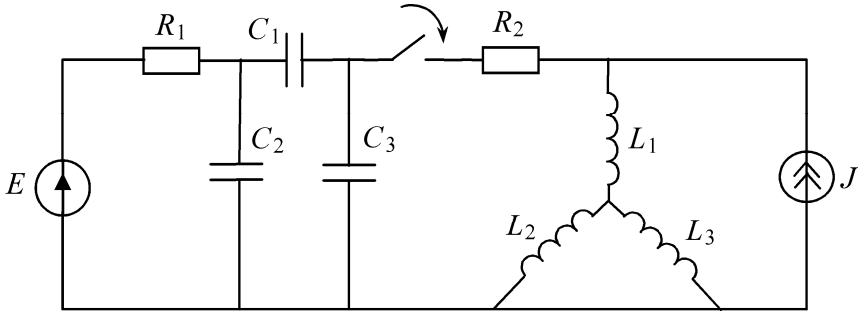


Рис. 53

1. Заметим, что цепь содержит один емкостной контур  $C1 - C2 - C3$  и одну индуктивную звезду  $L1 - L2 - L3$ . Поэтому порядок цепи равен:  $n = (n_L + n_C) - (n_s + n_k) = (3 + 3) - (1 + 1) = 4$ . Поэтому переходный процесс в цепи описывается дифференциальным уравнением 4-го порядка. Таким же будет порядок характеристического многочлена.

2. Для получения характеристического уравнения цепи изобразим схему цепи в свободном режиме.

На рис. 54 учтено, что в свободном режиме ЭДС  $E = 0$  (вместо источника ЭДС на схеме коротка) и ток источника тока  $J = 0$  (вместо источника тока – разрыв).

На схеме указаны узлы  $a$  и  $b$ , относительно которых записываются выражения для сопротивления  $Z(\lambda)$  при разомкнутой ветви  $a-b$ .

Предварительно подсчитаем сопротивление  $Z_{вг}(\lambda)$  для участка цепи слева от узлов «в» и «г» (рис. 54):



$$\begin{aligned}
 Z_{\text{вг}}(\lambda) &= \frac{\left( \frac{R_1}{R_1 + \frac{1}{\lambda C_2}} + \frac{1}{\lambda C_1} \right) \frac{1}{\lambda C_3}}{\frac{R_1}{\lambda R_1 C_2 + 1} + \frac{1}{\lambda C_1} + \frac{1}{\lambda C_3}} = \frac{\frac{(\lambda C_1 R_1 + \lambda R_1 C_2 + 1)}{(\lambda R_1 C_2 + 1) \lambda C_1 \cdot \lambda C_3}}{\frac{R_1 \lambda^2 C_1 C_2 + \lambda(C_3 + C_1)(\lambda R_1 C_2 + 1)}{(\lambda R_1 C_2 + 1) \lambda C_1 \cdot \lambda C_3}} = \\
 &= \frac{\lambda R_1 (C_1 + C_2) + 1}{\lambda^2 R_1 C_1 C_2 + \lambda^2 (C_3 + C_1) R_1 C_2 + \lambda (C_3 + C_1)} = \frac{k\lambda + 1}{m\lambda^2 + n\lambda}.
 \end{aligned}$$

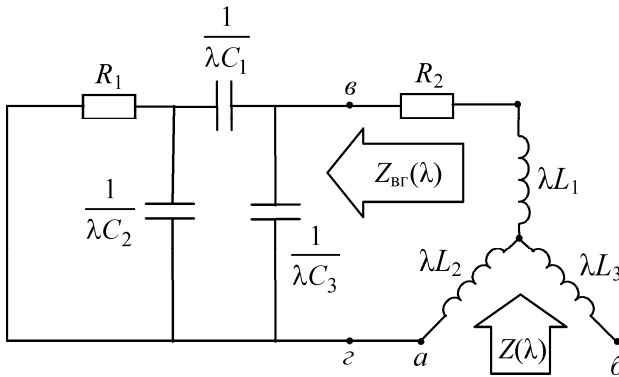


Рис. 54

Выражение для сопротивления относительно узлов *a* и *б* имеет вид:

$$\begin{aligned}
 Z(\lambda) &= \frac{(Z_{\text{вг}}(\lambda) + R_2 + \lambda L_1) \lambda L_2}{Z_{\text{вг}}(\lambda) + R_2 + \lambda L_1 + \lambda L_2} + \lambda L_3 = \frac{\left( \frac{k\lambda + 1}{m\lambda^2 + n\lambda} + R_2 + \lambda L_1 \right) \lambda L_2}{\frac{k\lambda + 1}{m\lambda^2 + n\lambda} + R_2 + \lambda L_1 + \lambda L_2} + \lambda L_3 = \\
 &= \frac{[k\lambda + 1 + (R_2 + \lambda L_1)(m\lambda^2 + n\lambda)] \lambda L_2}{k\lambda + 1 + (R_2 + \lambda L_1 + \lambda L_2)(m\lambda^2 + n\lambda)} + \lambda L_3 = \\
 &= \frac{[k\lambda + 1 + (R_2 + \lambda L_1)(m\lambda^2 + n\lambda)] \lambda L_2 + \lambda L_3 [k\lambda + 1 + (R_2 + \lambda L_1 + \lambda L_2)(m\lambda^2 + n\lambda)]}{k\lambda + 1 + (R_2 + \lambda L_1 + \lambda L_2)(m\lambda^2 + n\lambda)}.
 \end{aligned}$$

Характеристическое уравнение цепи получаем, приравняв нулю числитель выражения для  $Z(\lambda)$ . Несмотря на громоздкость выражений можно заметить, что степень характеристического многочлена (совпадающая со степенью многочлена в числителе  $Z(\lambda)$ ) равна 4. Отметим также, что для получения характеристического уравнения не потребовалось формировать систему уравнений для расчета переходного процесса в цепи 4-го порядка и не потребовалось составлять дифференциальное уравнение 4-го порядка для нахождения токов и напряжений<sup>1</sup>.

### 3.5. Расчет переходных процессов в цепях первого порядка (классическим методом)

Цепь первого порядка содержит один реактивный элемент (и неограниченное число резистивных элементов, а также источников тока и/или ЭДС). Из-за дифференциального (или интегрального) характера связи между током через реактивный элемент и напряжением на элементе реакции во время переходного процесса определяются из дифференциального уравнения первого порядка.

Рассмотрим алгоритм действий, позволяющий найти реакцию, используя классический метод расчета переходных процессов.

1. Искомая реакция представляется в виде суммы свободной и установившейся составляющей:  $i = i_{св} + i_{уст}$  или  $u = u_{св} + u_{уст}$ .

2. Свободная составляющая в цепи первого порядка имеет вид:  $i_{св} = A \cdot e^{\lambda t}$  или  $u_{св} = B \cdot e^{\lambda t}$ , где  $\lambda$  – единственный корень характеристического многочлена первого порядка.

Характеристический многочлен формируется из схемы цепи в свободном режиме, изображенной на рис. 55 (для цепи с индуктивным элементом) и на рис. 56 (для цепи с емкостным элементом).

---

<sup>1</sup> Эти действия потребовали бы значительно большего объема преобразований.

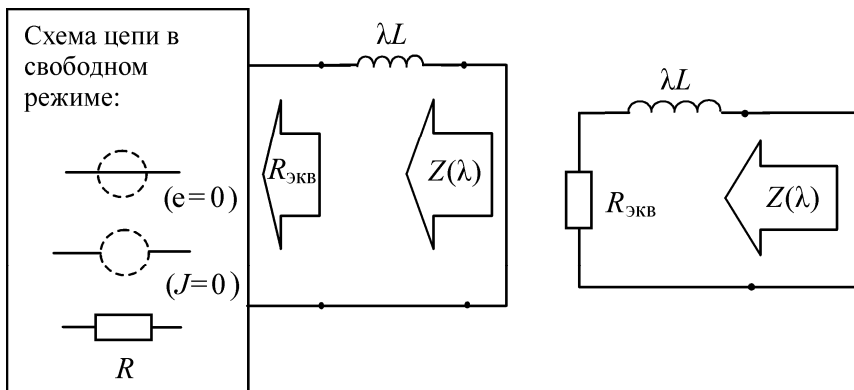


Рис. 55

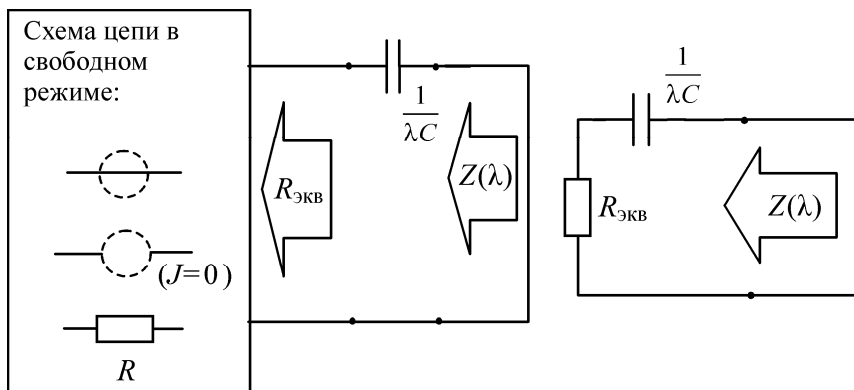


Рис. 56

На рисунках указана ветвь с реактивным элементом, а остальные элементы (резистивные, закороченные ветви эквивалентные источником ЭДС с нулевой ЭДС и разрывы в ветвях с источниками тока «формирующими» нулевой ток) и схема их соединений показаны условно. Эту часть цепи в свободном режиме можно заменить эквивалентным сопротивлением  $R_{\text{ЭКВ}}$ , а схемы цепи упрощаются (см. схемы в правой части рис. 55 и рис. 56).

Участок цепи, расположенный слева от указанных на рис. 55 и рис.56 узлов, имеет сопротивление  $Z(\lambda)$ , которое совпадает с ха-

рактическим многочленом  $P(\lambda)$ . Из уравнения  $Z(\lambda) = 0$  находят корни характеристического многочлена:

$$\begin{aligned} \lambda L + R_{\text{ЭКВ}} = 0 &\quad \rightarrow \quad \lambda_L = -\frac{R_{\text{ЭКВ}}}{L} < 0, \\ \frac{1}{\lambda C} + R_{\text{ЭКВ}} = 0 &\quad \rightarrow \quad \lambda_C = -\frac{1}{CR_{\text{ЭКВ}}} < 0. \end{aligned}$$

Как было отмечено ранее, корни характеристического уравнения должны быть отрицательны. По сути,  $\lambda$  является коэффициентом затухания.

Для оценки длительности переходного процесса вводится (более информативная (нежели  $\lambda$ )) величина  $\tau$ , которую называют постоянной времени цепи первого порядка:

$$\tau = -\frac{1}{\lambda}, \quad \text{тогда:} \quad \tau_L = \frac{L}{R_{\text{ЭКВ}}}, \quad \tau_C = CR_{\text{ЭКВ}} \quad (3.8)$$

Очевидно, что при  $t = 3\tau$  значения свободных составляющих:

$$i_{\text{св}} = A \cdot e^{-\frac{t}{\tau}} /_{t=3\tau} = A \cdot e^{-3},$$

$$u_{\text{св}} = B \cdot e^{-\frac{t}{\tau}} /_{t=3\tau} = B \cdot e^{-3},$$

составляют менее 5 % от значения в момент  $t = 0$  и при  $t > 3\tau$  эти составляющими можно пренебречь. Таким образом, длительность переходного процесса в цепи первого порядка составляет (приближенно!)  $3\tau$ . Постоянная времени  $\tau$  в цепи первого порядка – это время, за которое свободная составляющая реакции уменьшится в  $e$  раз.

Таким образом, для определения свободной составляющей реакции целесообразно в соответствии с (3.8) находить постоянную времени, которая не только характеризует свободную составляющую, но и определяет продолжительность переходного процесса.

3. Для нахождения установившейся составляющей  $i_{\text{уст}}$  и  $u_{\text{уст}}$  следует рассмотреть режим работы цепи после окончания переходного процесса, то есть при  $t \rightarrow \infty$ , а практически при  $t \geq 3\tau$ . Если в цепи содержатся только источники постоянного (либо синусои-

дального) тока и постоянных (либо синусоидальных) ЭДС, то установившиеся реакции определяются путем расчета модели цепи постоянного (либо синусоидального) тока. Поэтому достаточно сформировать и решить систему алгебраических уравнений, а не искать установившиеся реакции как частотное решение неоднородного линейного дифференциального уравнения.

4. После выполнения действий (п.2 и п.3) реакции имеют вид:

$$i = A \cdot e^{-\frac{t}{\tau}} + i_{уст} \quad \text{или} \quad u = B \cdot e^{-\frac{t}{\tau}} + u_{уст}. \quad (3.9)$$

В этих соотношениях пока неизвестны постоянные интегрирования ( $A$  и  $B$ ). Их значения можно определить из начальных условий  $i(0+)$  или  $u(0+)$ , которые находятся из законов коммутации непосредственно (в случае независимых начальных условий, т.е. для тока  $i_L(0+)$  и напряжения  $u_C(0+)$ ) или после определения независимых начальных условий в случае, если  $i(0+)$  и  $u(0+)$  являются зависимыми начальными условиями. На этом этапе целесообразно использовать схему цепи, которая моделирует состояние цепи в момент времени  $t = 0+$  (см. примеры и выводы в подразделе «Виды начальных условий и определение порядка цепи»).

### Примеры

#### Задача 3.6

Определить ток  $i_C(t)$  через емкостной элемент и напряжение на этом элементе  $u_C(t)$  после размыкания ключа в цепи, схема которой изображена на рис. 57, если  $E = 1,5$  В,  $r = 5$  Ом,  $R = 20$  Ом,  $C = 100$  мкФ. Изобразить временные диаграммы  $i_C(t)$  и  $u_C(t)$ , указав на них значения  $i_C(t < 0)$  и  $u_C(t < 0)$  до коммутации.

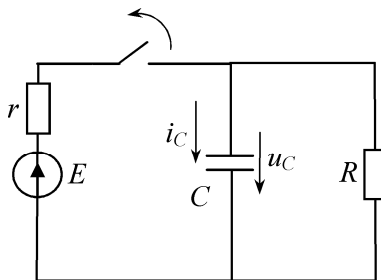


Рис. 57

Решение:

1. Для расчета переходного процесса применяем классический метод. Искомые реакции представляем в виде:

$$i_C(t) = i_{C_{св}} + i_{C_{уст}}, \quad u_C(t) = u_{C_{св}} + u_{C_{уст}}.$$

2. Цепь содержит один реактивный элемент и является цепью первого порядка. Поэтому свободные составляющие реакций (как общее решение однородного дифференциального уравнения первого порядка) ищем в виде:  $i_{C_{св}} = A \cdot e^{-\frac{t}{\tau}}$ ,  $u_{C_{св}} = B \cdot e^{-\frac{t}{\tau}}$  – в соответствии с (3.9), где:  $\tau = C \cdot R_{\text{экв}}$  – постоянная времени цепи первого порядка.

Схема цепи в свободном режиме изображена на рис. 58.

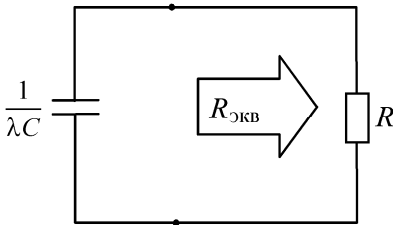


Рис. 58

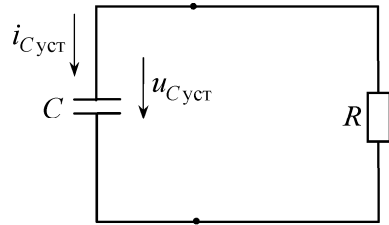


Рис. 59

Очевидно, что  $R_{\text{экв}} = R$ , тогда:

$$\tau = C \cdot R_{\text{экв}} = 100 \cdot 10^{-6} \cdot 20 = 2 \text{ [мс]}.$$

3. После окончания переходного процесса (теоретически при  $t \rightarrow +\infty$ , практически при  $t > 3\tau$ ) цепь работает в установившемся режиме. Схема цепи изображена на рис. 59.

Очевидно, что в таком контуре (из-за отсутствия разности потенциалов) ток не протекает  $i_{C_{уст}} = 0$  и напряжение на емкостном элементе отсутствуют  $u_{C_{уст}} = 0$ . Напряжение на емкостном элементе, существовавшие до коммутации и в момент размыкания ключа, и энергия запасенная в емкостном элементе  $\left(\frac{1}{2} C \cdot u_C^2\right)$  за

время переходного процесса рассеялись (перешли в другие ветви энергии на резистивном элементе  $R$ ).

4. Таким образом, в этой задаче реакции содержат лишь свободную составляющую:  $i_C(t) = A \cdot e^{-\frac{t}{\tau}}$ ,  $u_C(t) = B \cdot e^{-\frac{t}{\tau}}$ .

Постоянные интегрирования  $A$  и  $B$  находим из начальных условий. Напряжение  $u_C(0-)$ , независимое начальное условие, из закона коммутации (с учетом результата (3.5), полученного в решении задачи 3.4) получаем:

$$u_C(0+) = u_C(0-) = \frac{E \cdot R}{r + R} = \frac{1,5 \cdot 20}{5 + 20} = 1,2 \text{ [В]}.$$

При  $t = 0$  имеем:  $u_C(0) = B \cdot e^0 = B = 1,2 \text{ [В]}$ .

Ток  $i_C(0)$  – зависимое начальное условие. Его находим, используя схему цепи (рис. 60) в момент  $t = 0+$ , где источник  $E_{C0} = u_C(0+) = 1,2 \text{ [В]}$  моделирует наличие на емкостном элементе напряжения в момент коммутации.

Очевидно, что ток  $i_C(0+)$  направлен противоположно току  $i(0+)$ , который создает источник  $E_{C0}$ :

$$i(0+) = -i_C(0+) = -\frac{E_{C0}}{R} = -\frac{1,2}{20} = -0,06 \text{ [А]}.$$

При  $t = 0$  имеем:  $i_C(0) = A \cdot e^0 = A = -0,06 \text{ [А]}$ .

5. Схема цепи до коммутации изображена на рис. 61.

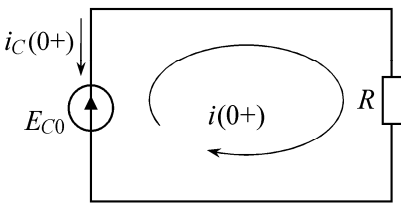


Рис. 60

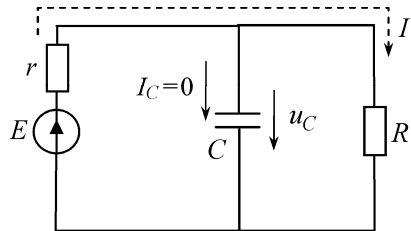


Рис. 61

В этой цепи по внешнему контуру протекал постоянный ток  $I$ , а ток  $I_C = 0$ . Временные диаграммы для реакции:  $i_C(t) = -0,06 \cdot e^{-\frac{t}{\tau}}$ ,  $u_C(t) = 1,2 \cdot e^{-\frac{t}{\tau}}$ , где  $\tau = 2$  [мс] изображены на рис. 62 и рис. 63.

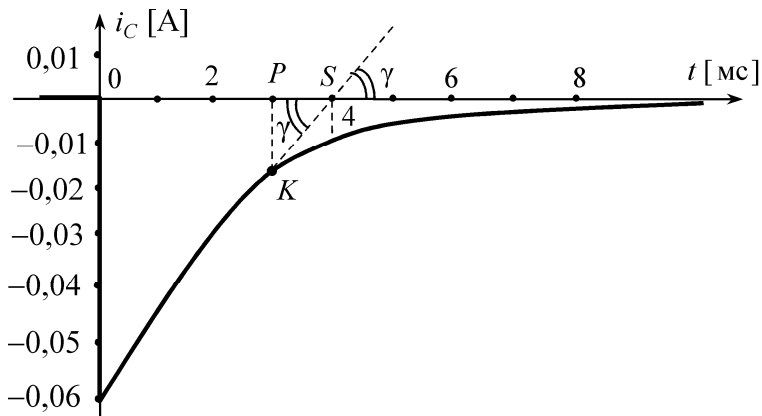


Рис. 62

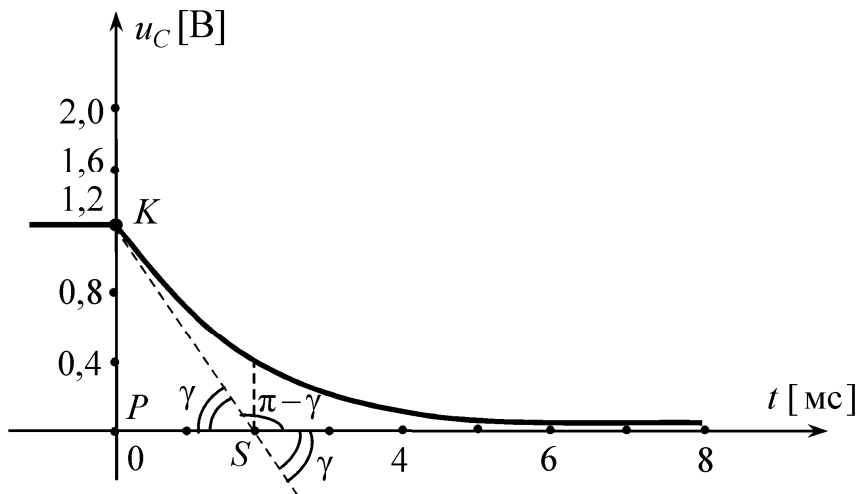


Рис. 63



**Важное практическое замечание**

Проведем касательную в любой точке графиков свободных составляющих. Например, для графика  $i_C(t)$  в точке  $i_C(t_2 = 2 \text{ мс})$ , а для графика  $u_C(t)$  в точке  $u_C(t_0 = 0)$ . Эти касательные на рис. 62 и рис. 63 указаны пунктирными линиями. Найдем длину отрезка  $PS$  оси абсцисс (времени), заключенного между точкой  $S$  пересечения касательной с этой осью и точкой  $P$ , являющейся проекцией на ось абсцисс точки, в которой проведена касательная. Из прямоугольного треугольника  $KPS$  получаем для рис. 62:

$$PS = KP \cdot \operatorname{ctg} \gamma = \frac{KP}{\operatorname{tg} \gamma} = \frac{|i_C(t_2)|}{\frac{di_C(t_2)}{dt}} = \frac{\left| -0,06 \cdot e^{-\frac{t_2}{\tau}} \right|}{-0,06 \cdot e^{-\frac{t_2}{\tau}} \cdot \left( -\frac{1}{\tau} \right)} = \tau;$$

для рис. 63:

$$PS = KP \cdot \operatorname{ctg} \gamma = \frac{KP}{-\operatorname{tg}(\pi - \gamma)} = \frac{u_C(t_0)}{-\frac{du_C(t_0)}{dt}} = \frac{1,2 \cdot e^0}{-1,2 \cdot e^0 \cdot \left( -\frac{1}{\tau} \right)} = \tau.$$

Таким образом, касательная, проведенная в любой точке графика свободной составляющей реакции, отсекает на оси времени отрезок (считая от абсциссы точки, в которой проведена касательная) равный постоянной времени цепи первого порядка. Указанный прием используют на практике для приближенного экспериментального определения постоянной времени цепи по зафиксированным осциллограммам токов или напряжений.

**Задача 3.7**

Определить ток  $i_1(t)$  в цепи, схема которой изображена на рис. 64, после замыкания ключа, если известно  $E = 2,4 \text{ [В]}$ ,  $C = 0,3 \text{ [мкФ]}$ ,  $r_1 = 8 \text{ [Ом]}$ ,  $r_2 = 10 \text{ [Ом]}$ ,  $r_3 = 40 \text{ [Ом]}$ ,  $u_C(0) = 0$ .

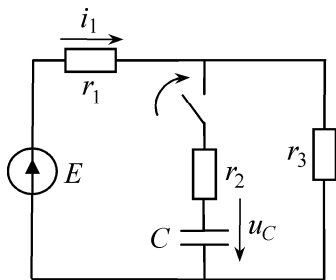


Рис. 64

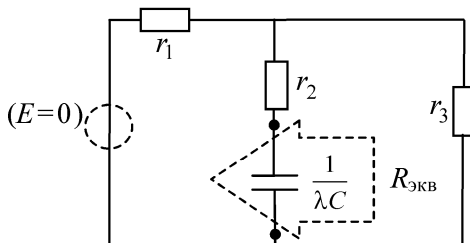


Рис. 65

Решение:

1. Воспользовавшись классическим методом, представим искомую реакцию в виде:

$$i_1 = i_{1\text{св}} + i_{1\text{уст}} = A \cdot e^{-\frac{t}{\tau}} + i_{1\text{уст}}.$$

2. Находим постоянную времени  $\tau$ . Для этого изобразим схему цепи в свободном режиме (рис. 65) при этом источник ЭДС заменим короткой, а емкостной элемент – «условным» сопротивлением  $\frac{1}{\lambda C}$ .

Рассчитываем  $R_{\text{эКВ}}$  между узлами, с которыми соединен емкостной элемент:

$$R_{\text{эКВ}} = r_2 + r_1 \parallel r_3 = 10 + \frac{8 \cdot 40}{8 + 40} = \frac{50}{3} [\text{Ом}].$$

Тогда: 
$$\tau = C \cdot R_{\text{эКВ}} = 0,3 \cdot 10^{-6} \cdot \frac{50}{3} = 5 [\text{мкс}].$$

3. Можно считать, что переходной процесс закончится спустя время  $t > 3\tau = 15 [\text{мкс}]$ . С этого времени в цепи (рис. 66) имеет место установившейся режим, при котором характер реакций определяется характером воздействия: постоянный источник ЭДС порождает постоянные токи в ветвях.

Через ветвь с емкостным элементом постоянный ток не протекает  $I_C = 0$ , поэтому:

$$i_{1\text{уст}} = \frac{E}{r_1 + r_3} = \frac{2,4}{8 + 40} = 0,05 [\text{А}].$$

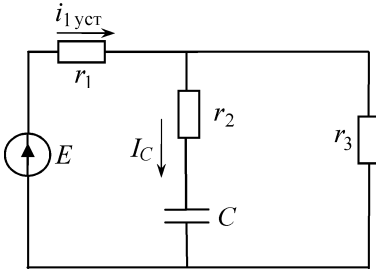


Рис. 66

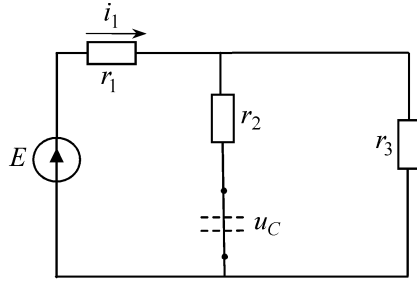


Рис. 67

4. Искомая реакция имеет вид:  $i_1 = A \cdot e^{-\frac{t}{\tau}} + 0,05$ . Значение постоянной  $A$  находим из начальных условий. Поскольку значение  $i_1(0)$  является зависимым начальным условием, предварительно определяем независимые начальные условия – напряжение на емкостном элементе  $u_C(0+)$ . Из закона коммутации  $u_C(0+) = u_C(0-) = 0$  (по условию).

Тогда в момент коммутации  $t = 0+$  в схеме модели цепи емкостной элемент должен быть заменен «закороткой» (рис. 67). Теперь может быть найдено значение  $i_1(0+)$ :

$$i_1(0+) = \frac{E}{r_1 + r_2 \parallel r_3} = \frac{2,4}{8 + \frac{10 \cdot 40}{10 + 40}} = 0,15 \text{ [A]}.$$

Это начальное условие позволяет определить постоянную  $A$ :

$$i_1(t=0) = A \cdot e^0 + 0,05 = i_1(0+) = 0,15.$$

Отсюда:  $A + 0,05 = 0,15 \rightarrow A = 0,1 \text{ [A]}$ . Таким образом,  $i_1(t) = 0,1 \cdot e^{-\frac{t}{\tau}} + 0,05 \text{ [A]}$ . На рис. 68 изображена временная диаграмма  $i_1(t)$ , на которой показано и значение тока до коммутации  $i_1(t < 0) = \frac{E}{r_1 + r_3} = 0,05 \text{ [A]}$ .

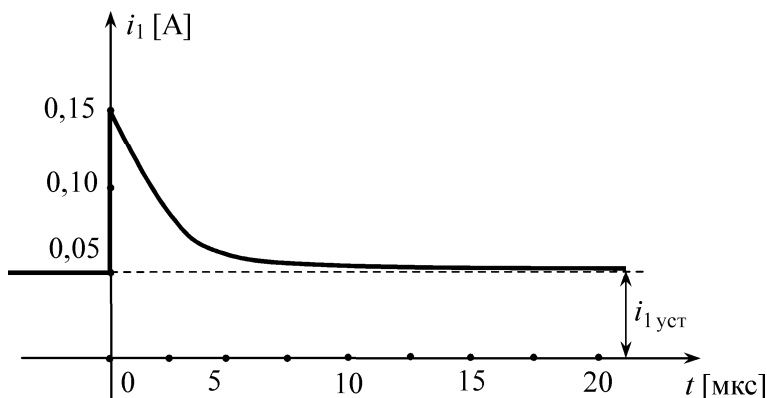


Рис. 68

### Задача 3.8

Определить напряжение  $u_1(t)$  после размыкания ключа в цепи, схема которой изображена на рис. 69, если известно, что:  $E = 2,4$  [В];  $L = 12$  [мГн];  $r_1 = 2$  [Ом];  $r_2 = r_3 = 4$  [Ом].

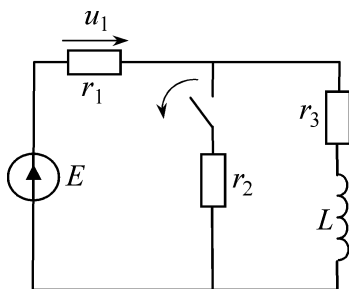


Рис. 69

1. Для цепи первого порядка искомую реакцию ищем в виде (используя классический метод расчета):

$$u_1(t) = B \cdot e^{-\frac{t}{\tau}} + u_{1уст}$$

2. Находим постоянную времени  $\tau$  цепи. Для этого изобразим схему цепи в свободном режиме (рис. 70) и учтем, что в этой схеме  $E = 0$ , а индуктивный элемент «обладает»

сопротивлением  $\lambda L$ . Очевидно, что значение сопротивления  $R_{эКВ} = r_1 + r_3$ , тогда в соответствии с (3.8):

$$\tau = \frac{L}{R_{эКВ}} = \frac{L}{r_1 + r_3} = \frac{12 \cdot 10^{-3}}{2 + 4} = 2 \text{ [мс]}.$$

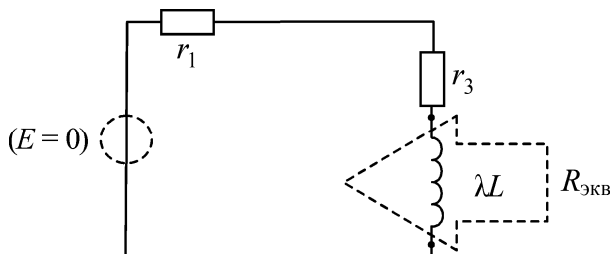


Рис. 70

3. Установившийся режим в цепи наступает при  $t > 3\tau = 6$  [мс]. В этом режиме (рис. 71) в цепи протекает постоянный ток  $I$  и напряжение  $U_L = 0$ , а напряжение  $u_{1\text{уст}}$  составляет:

$$u_{1\text{уст}} = I \cdot r_1 = \frac{E \cdot r_1}{r_1 + r_3} = \frac{2,4 \cdot 2}{2 + 4} = 0,8 \text{ [В]}.$$

4. Для искомой реакции получено выражение:

$$u_1(t) = B \cdot e^{-\frac{t}{\tau}} + 0,8, \text{ в кото-}$$

ром следует определить постоянную интегрирования  $B$ . Находим независимое начальное условие из законов коммутации

$$i_L(0+) = i_L(0-) = \frac{1}{2} \cdot \frac{E}{(r_1 + r_2 \parallel r_3)} = 0,3 \text{ [А]} \text{ и получаем схему модели}$$

цепи (рис. 72) в момент времени  $t = 0+$  (как это было сделано в ранее решенной задаче 3.2). Очевидно, что в этот момент времени:  $u_1(0+) = J_{L0} \cdot r_1 = i_L(0+) \cdot r_1 = 0,3 \cdot 2 = 0,6$  [В].

По найденному начальному условию определяем постоянную  $B$ :

$$u_1(t = 0+) = A \cdot e^0 + 0,8 = u_1(0+) = 0,6 \text{ [В]}.$$

Отсюда:  $A + 0,8 = 0,6$ , значит  $A = 0,2$ .

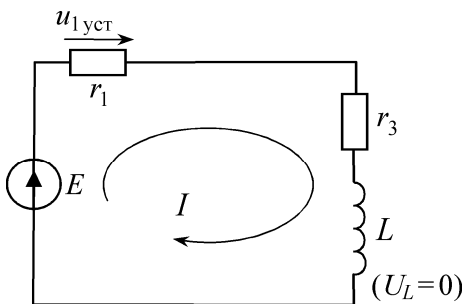


Рис. 71

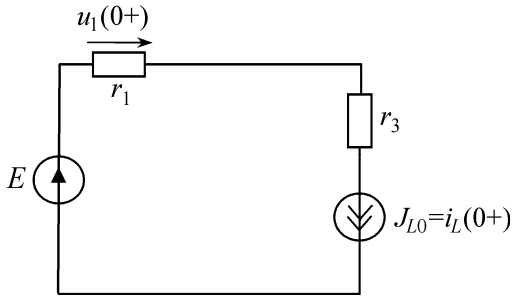


Рис. 72

Таким образом, определена реакция  $u_1(t) = 0,2 \cdot e^{-\frac{t}{\tau}} + 0,8$ , временная диаграмма которой изображена на рис.73. Значение реакции до коммутации:

$$u_1(t < 0) = \frac{E \cdot r_1}{r_1 + r_2 \parallel r_3} = 1,2 \text{ [В]} \text{ указано левее оси ординат.}$$

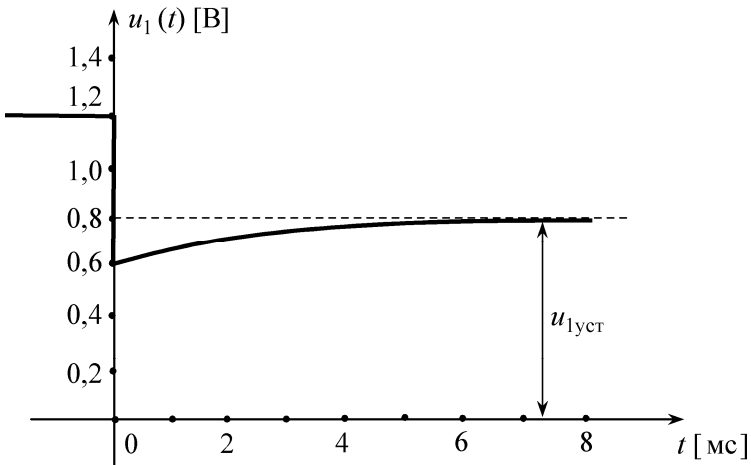


Рис. 73

## Список литературы

1. Атабеков Г.И. Теоретические основы электротехники. Ч.1. Линейные электрические цепи. М.: Энергия, 1978.
2. Бессонов Л.А. Теоретические основы электротехники. М.: Высшая школа, 1978.
3. Ионкин П.А., Даревский А.И. Теоретические основы электротехники. Т.1. Высшая школа, 1976.
4. Львов Е.И. двухполюсные цепи. М.: МИФИ, 1984.
5. Касаткин А.С., Немцов М.В. Электротехника. М.: Энергоатомиздат, 1998.
6. Лабораторный практикум по линейным электрическим цепям с сосредоточенными параметрами / Под ред. В.Г. Терентьева, И.В. Пищулина. М.: МИФИ, 1987.
7. Гаркуша О.В., Школьников Э.Я. Линейные электрические цепи переменного тока. М.: МИФИ, 2004.

Варламов Николай Викторович

Школьников Эдуард Яковлевич

# ЛИНЕЙНЫЕ ЭЛЕКТРИЧЕСКИЕ ЦЕПИ ПЕРЕМЕННОГО ТОКА

## Часть II

Учебное пособие

Редактор *Н.В. Шумакова*  
Оригинал-макет изготовлен *С.В. Тялиной*

Подписано в печать 01.12.2008    Формат 60×84 1/16

Печ. л. 5,5    Уч.-изд. л. 5,5    Тираж 150 экз.

Изд. № 4/89    Заказ №

---

Московский инженерно-физический институт  
(государственный университет) 115409, Москва, Каширское ш., 31  
Типография «Тривант», г. Троицк, Московской обл.